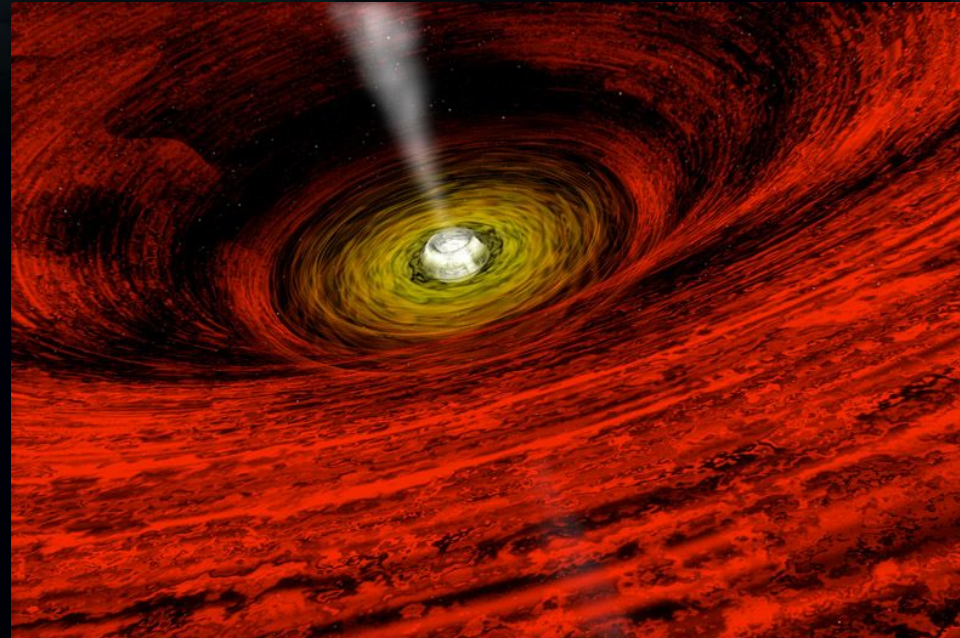


Introducción a Los Núcleos Galácticos Activos



Material de:

*STScI (HST), Chandra, muchos homepage de otros individual's
(Brad Petersen, Bill Keel, y otros)*

Resumen

- *Nucleos Activos verso Nucleos quietos*
- *Acreciente in agujero negro (basicos)*
- *'Esquema unificado de AGN' - the AGN zoo*
- *Agujero Negros: ubicuidad y escalamiento*
 - *Estimar la masa del agujero negro*
- *'Super-unificados'*
- *In el principio : agujero negros de alto redshift*
- *Resumen finale*

Semana Siguiente: Secret `Active' Lives of Nearby `Normal' Galaxies

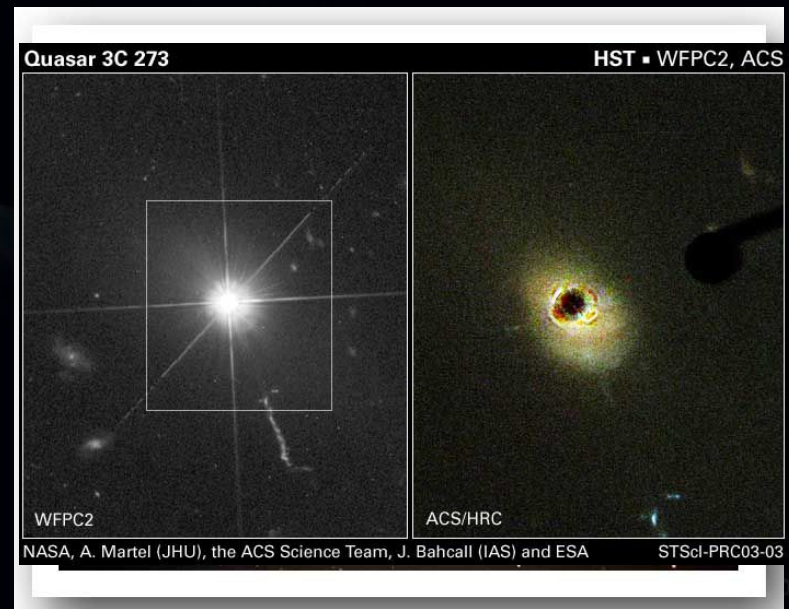
~~Nucleos activos & quietos~~

- “Quietos”: motor relacionado de la formacion de la estrella
 - Estrellas jovenes y viejas; gas y polvo
 - Supernovae (SN) y remanente de la SN
 - Otros productos remanante, e.g. Binario X-ray
- “Activos”: a mucha actividad a ser el antedicho
 - Fuentes luminosas compactas de la emision
 - Jets y Outflows (comedores sucios)
 - Creido para ser accionado por un ‘supermasssive’ agujeros negros



Hubble
Heritage

PRC00-20 • Space Telescope Science Institute • NASA and The Hubble Heritage Team (STScI/AURA)



NASA, A. Martel (JHU), the ACS Science Team, J. Bahcall (IAS) and ESA

STScI-PRC03-03

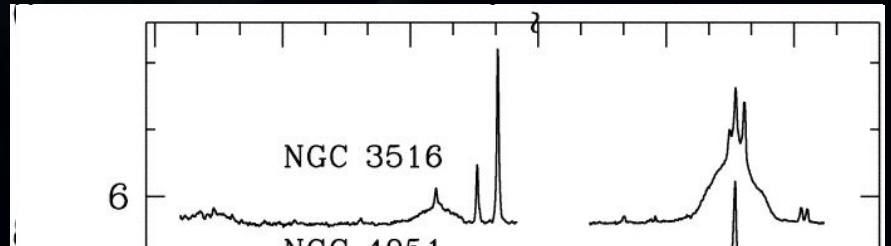
Active vs. Normal Galaxies (continuum)

- *All men are created equal,* neil nagar
Galaxies *active*
are *more active than others*
- *George Orwell, "Animal Farm"*

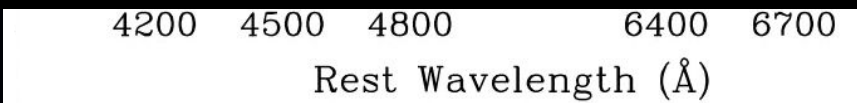
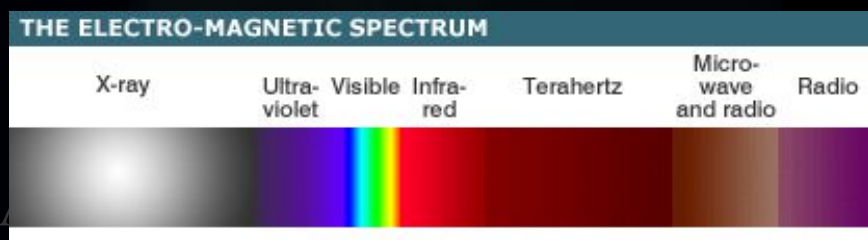
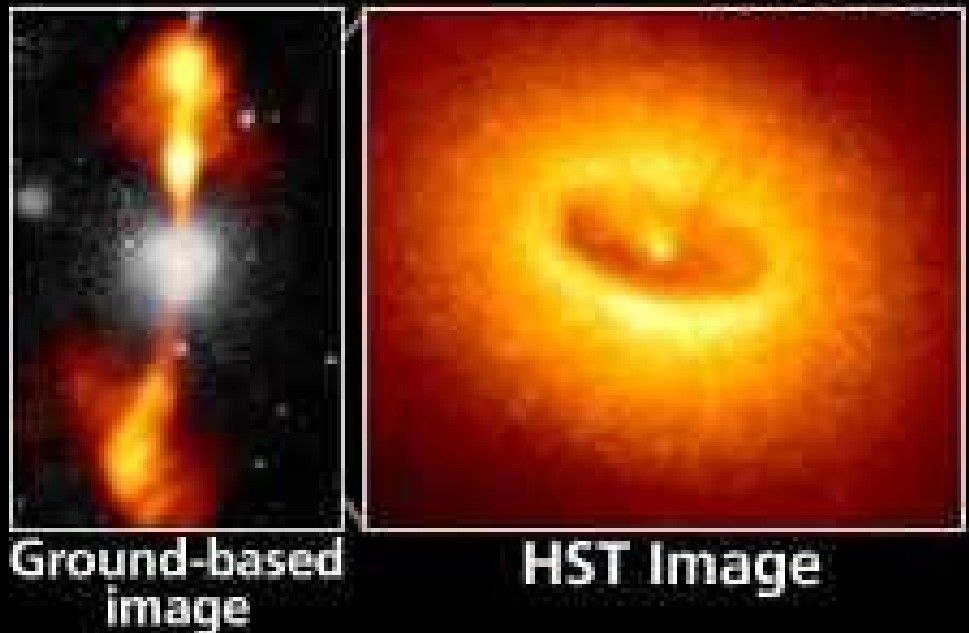
AGN identificacion

10,000 km/s 'broad' Halpha)

- Espectroscopia Optica y infra-rojo
 - (amplio) lineas de emision fuertes
- Fuentes compactas (hard X-ray, optica, radio, infra-rojo)
- Jets y lobulos de radio grandes (relativista)
- Variabilidad grande

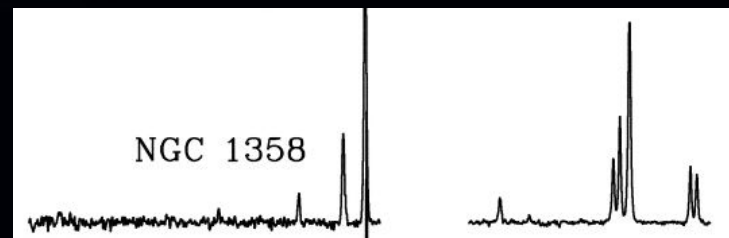
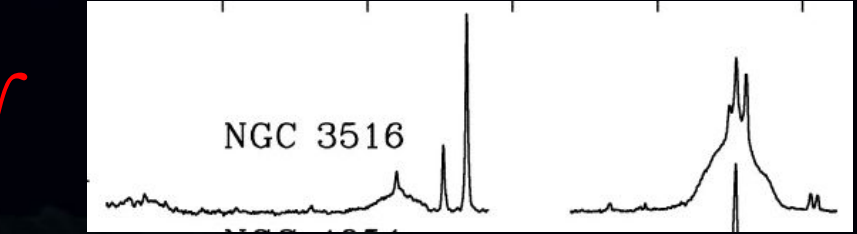
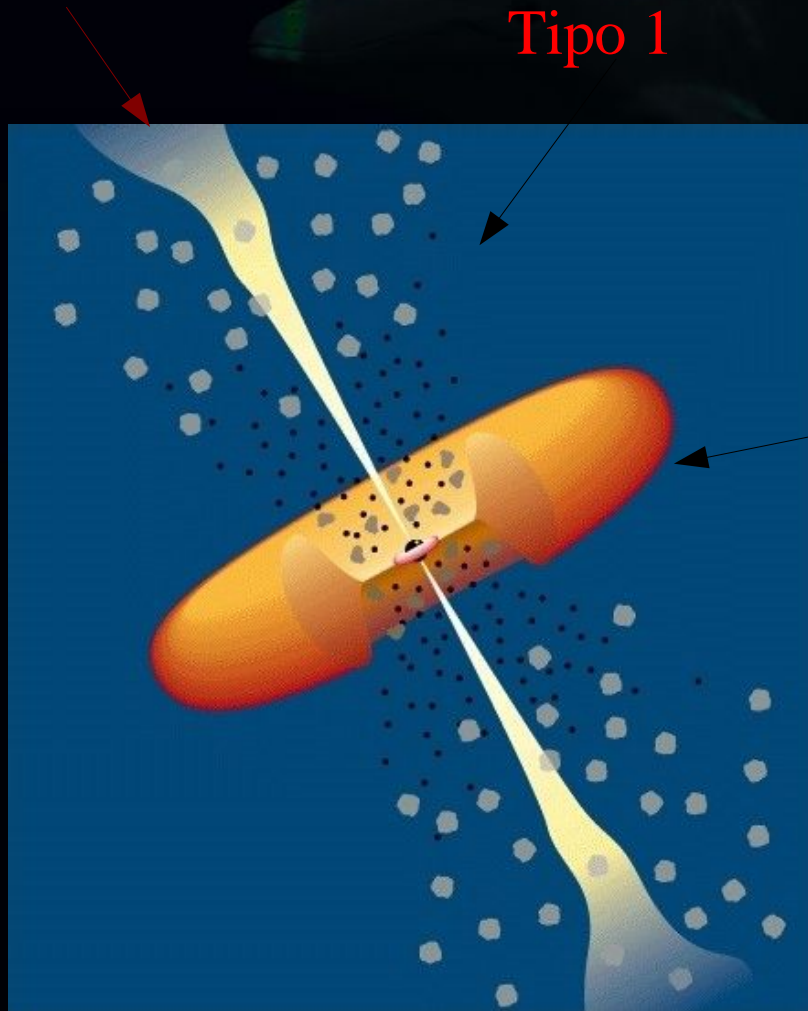


NGC4261



Esquema Unificado de AGN

Tipos



AGN Taxonomy (Urry & Padovani, Antonucci & Miller)

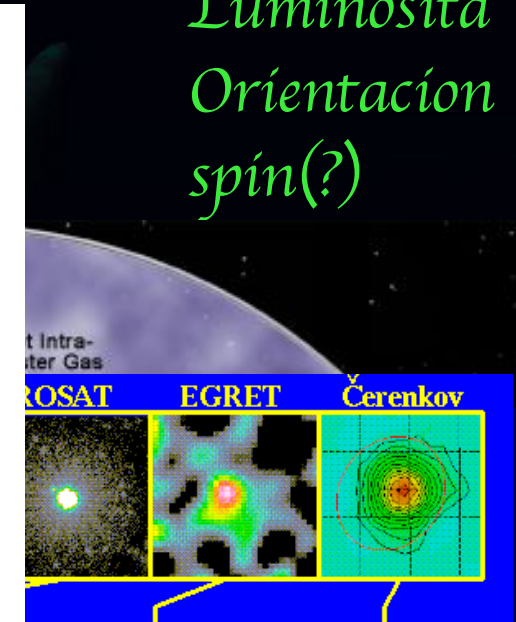
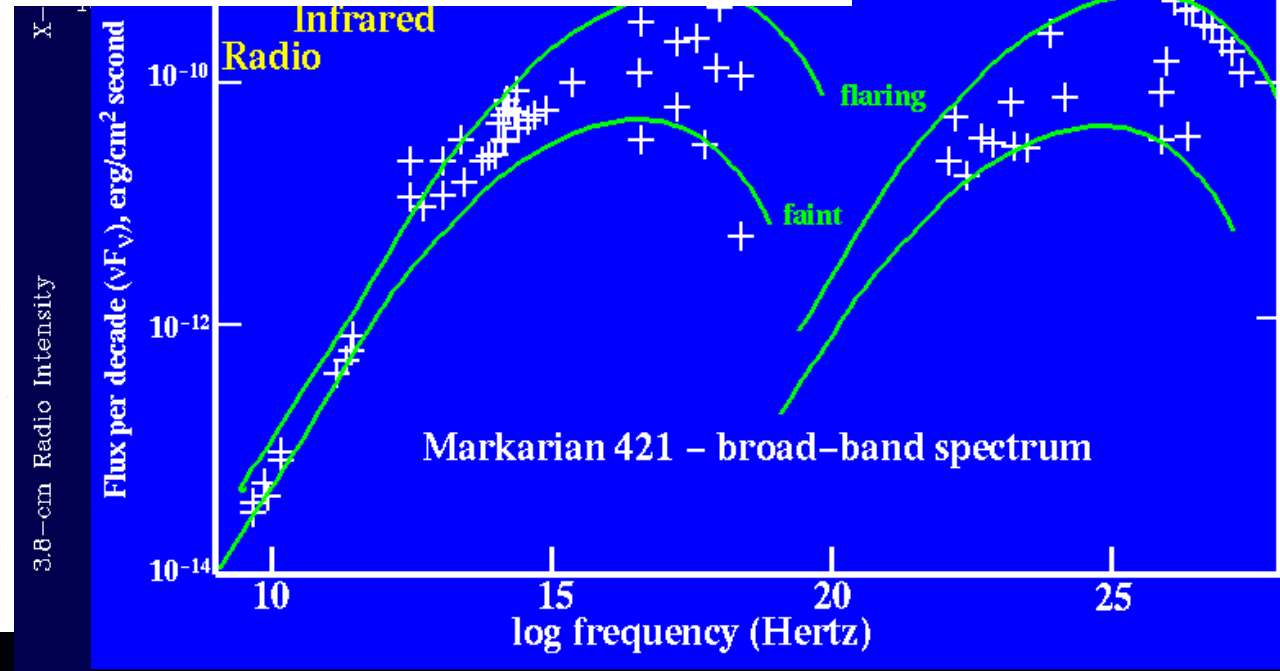
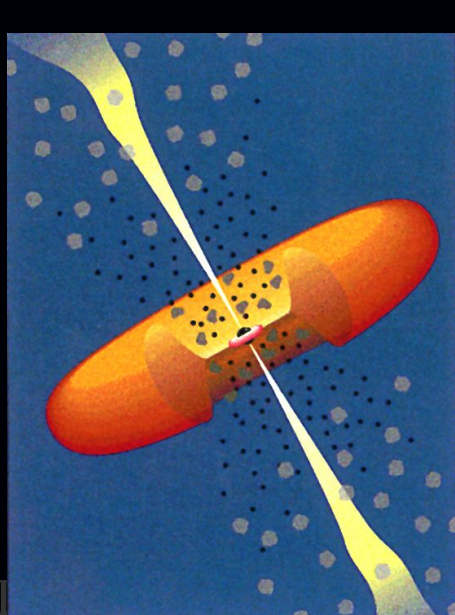
Luminosidad
Orientación
spin(?)

806 URRY AND PADOVANI

TABLE 1
AGN Taxonomy
Optical Emission Line Properties

	Type 2 (Narrow Line)	Type 1 (Broad Line)	Type 0 (Unusual)
Radio-quiet:	Sy 2 NELG IR Quasar?	Sy 1 QSO	BAL QSO?
Radio-loud:	NLRG { FR I FR II}	BLRG SSRQ FSRQ	Blazars { BL Lac Objects (FSRQ)}

Decreasing angle to line of sight



DONT

Fisicas basicas de acretar:

$$R_{\text{Schwarzschild}} = 2 G M / c^2$$

Tierra : 0.9 cm

Sol : 3 km

$10^9 M_{\text{Sol}}$: 60 A.U.

Energia de accrecion (potencial)

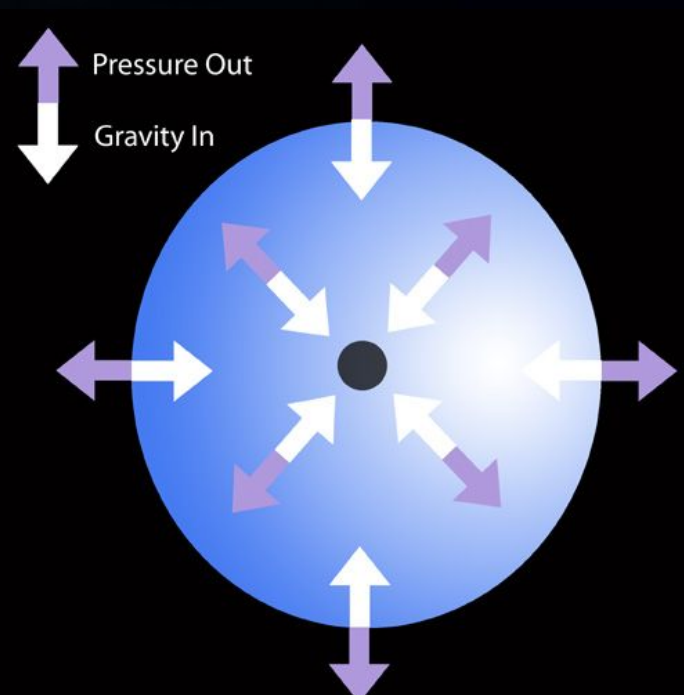
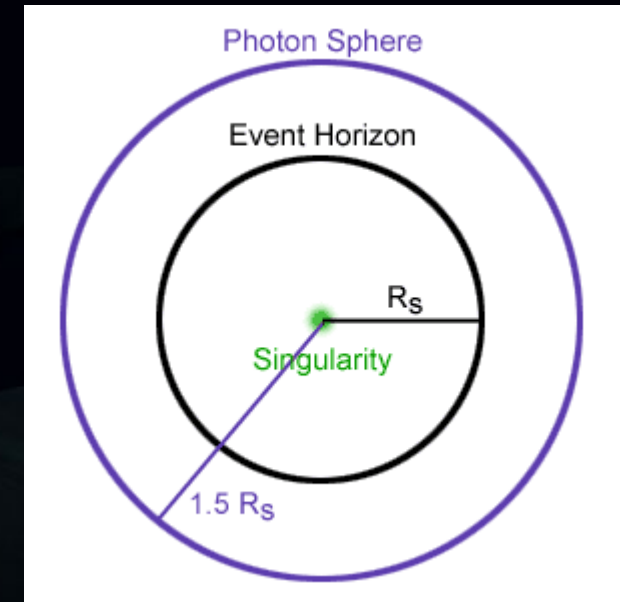
Limite de Eddington:

$$\frac{L_{\text{ST}}}{4 \pi c r^2} = \frac{G M m_p}{r^2}$$

$$L_{\text{Edd}} = 1.2 \times 10^{38} (M/M_{\text{sun}}) \text{ erg/sec}$$

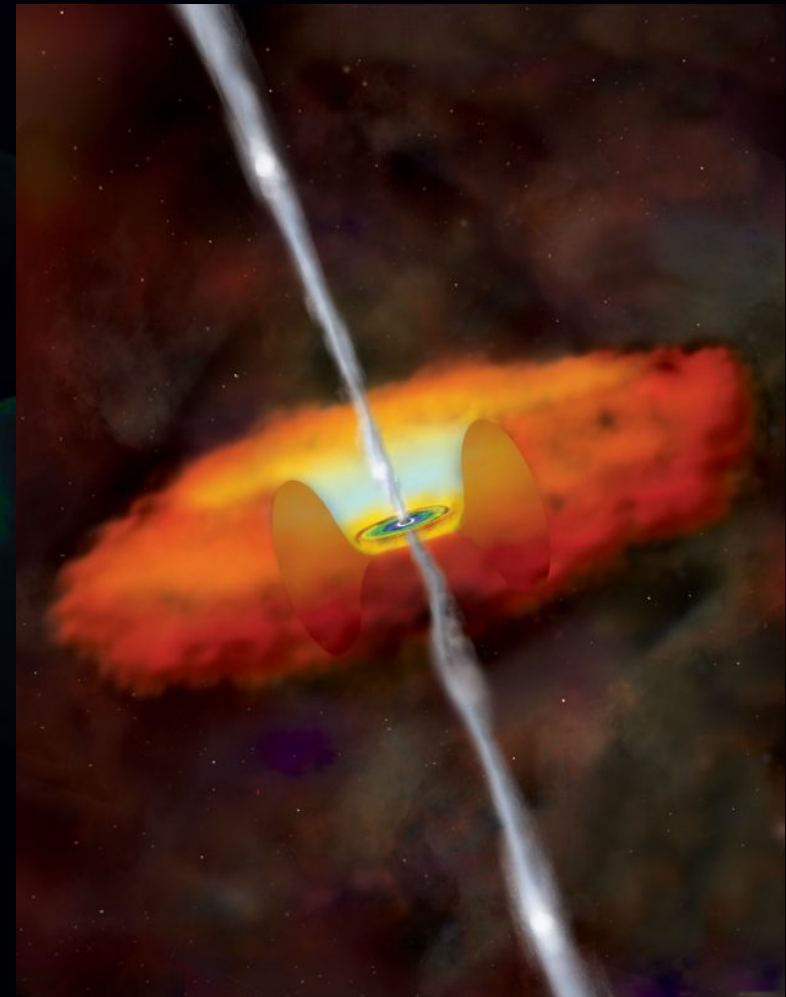
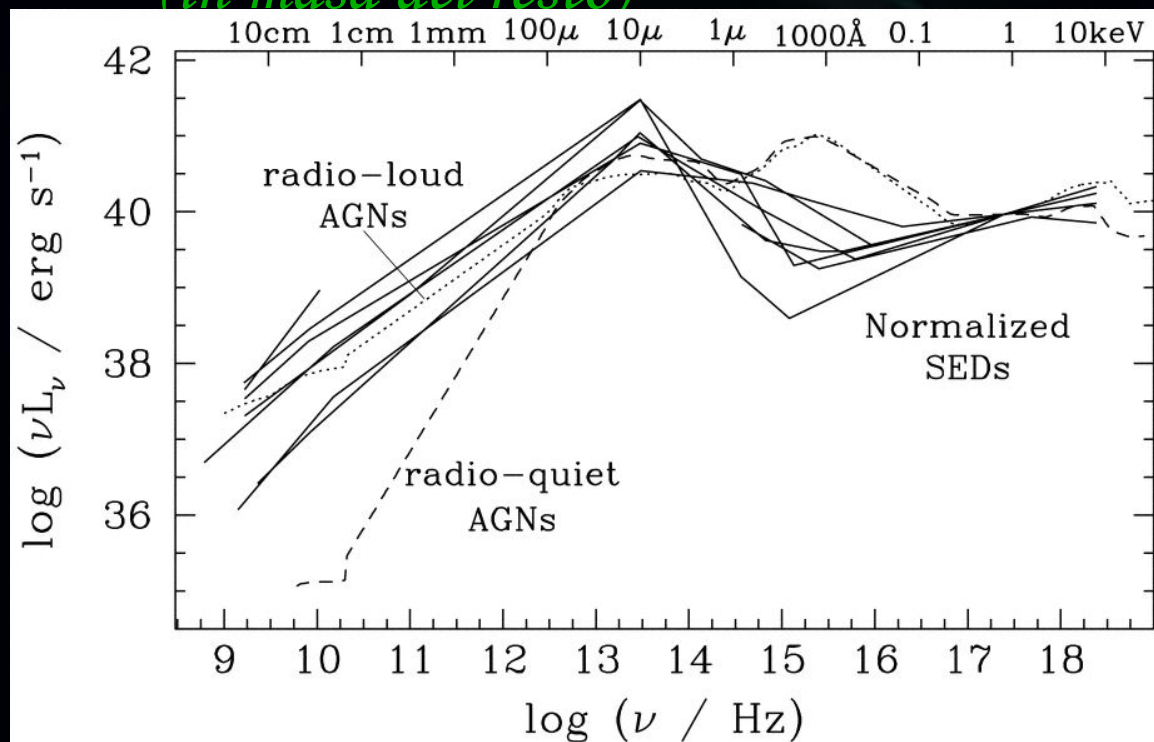
Rotar agujero negro : $a = J / (GM/c)$

la orbita estable mas cercana (materia) = $5 R_{\text{Sch}}$



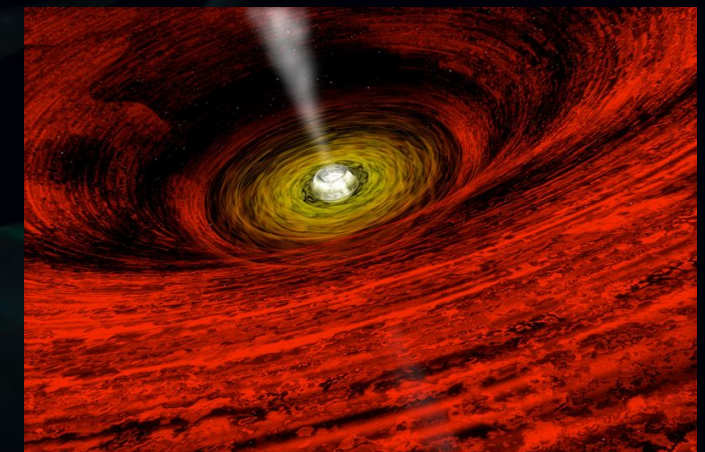
Reglas empíricas de acretar:

*~ 10% eficacia del accrecion
(in masa del resto)*

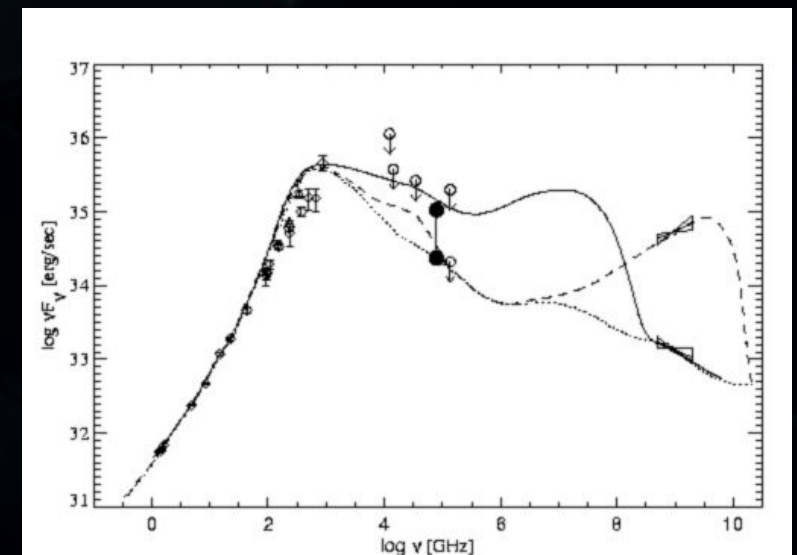
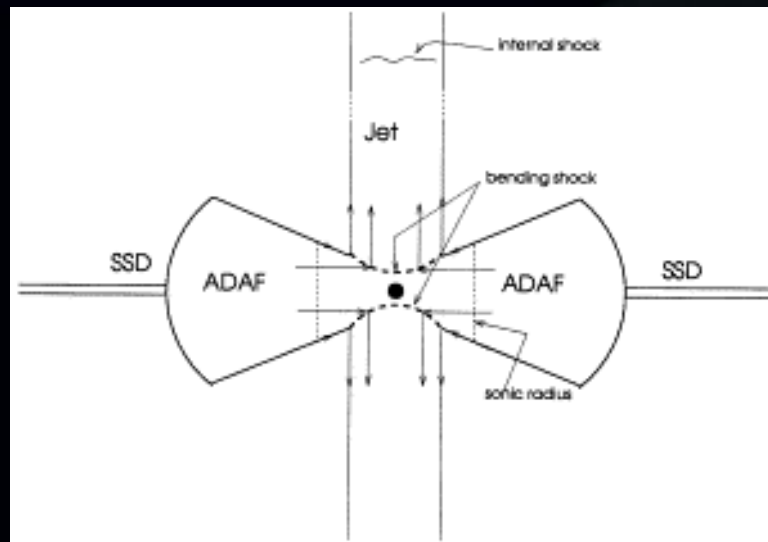


Radiatively Inefficient Accretion Flows (RIAFs) (flujos radiatively ineficaces del accrecion)

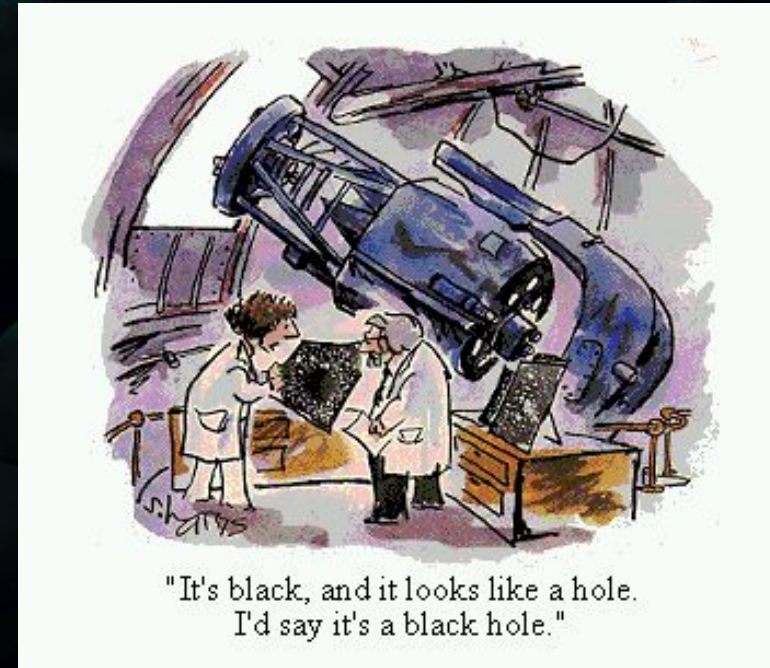
'Bending shock' produces power-law electron distribution. Synchrotron and SSC from these electrons give IR and X-ray emission.



neil nagar



opticamente fino.



*Su negro, y el parece un agujero, opinión
de i'd su un agujero negro.*

*Importante:
Ahora nos estamos desviando a las galaxies “normales”*

*Medir la masa del agujero negro (masa oscura)
(cualquier colección de objetos mas pequeños se derrumbara
dentro de un ‘tiempo Hubble’)*

Razones de favorecer presencia del agujero negro:

- ___ Energia mas de 10^{40} – 10^{44} erg/s de un area menos de 1pc
- ___ chorro relativistica el extender mas alla de 10kpc
- ___ afluencia del gas que desaparece (?)
- ___ grande (relativista) velocidades de rotacion

No sabemos ningun otro proceso fisico que pueda crear estos efectos

Sgr A*

Direct dynamic measurement:
 3.6×10^6 solar masses

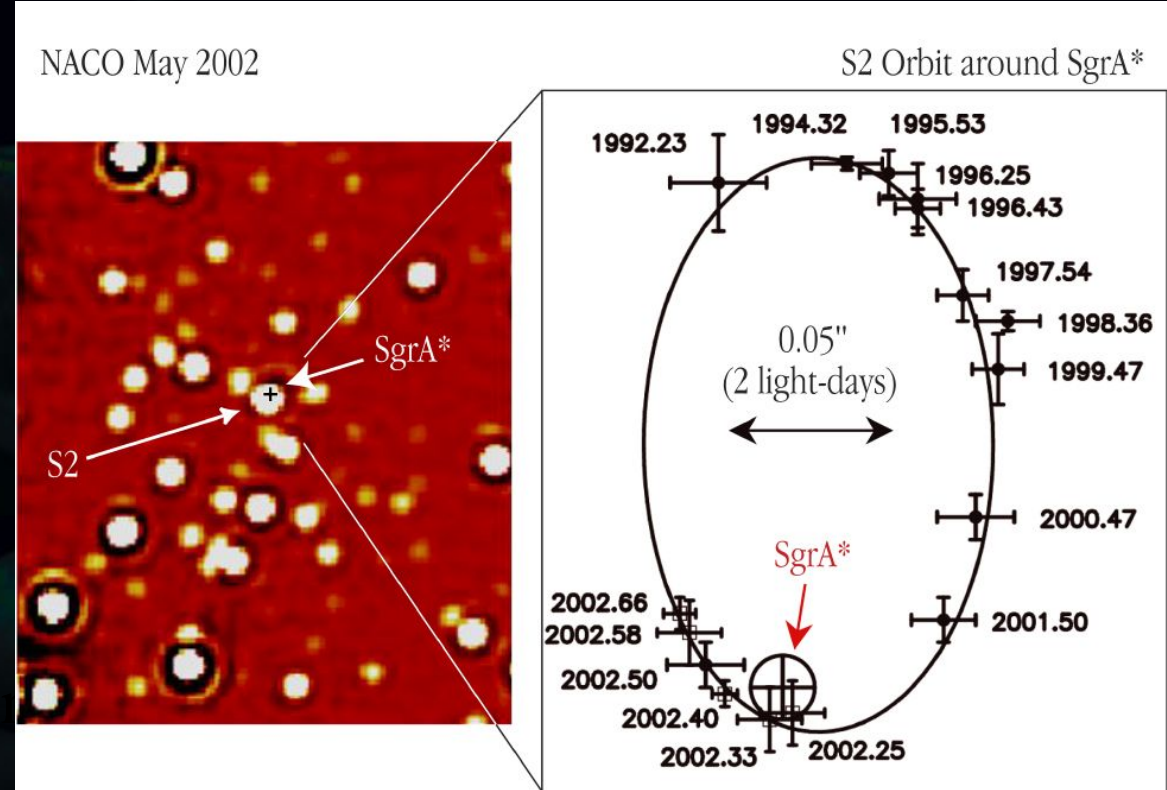


The Centre of the Milky Way
(VLT YEPUN + NACO)

ESO PR Photo 23a/02 (9 October 2002)



© European Southern Observatory

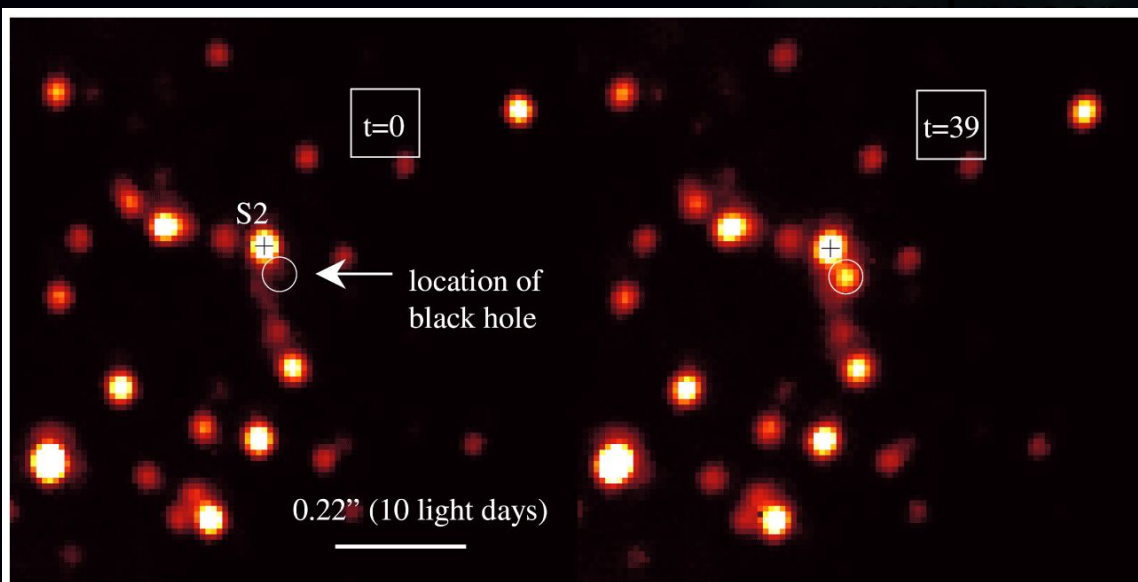
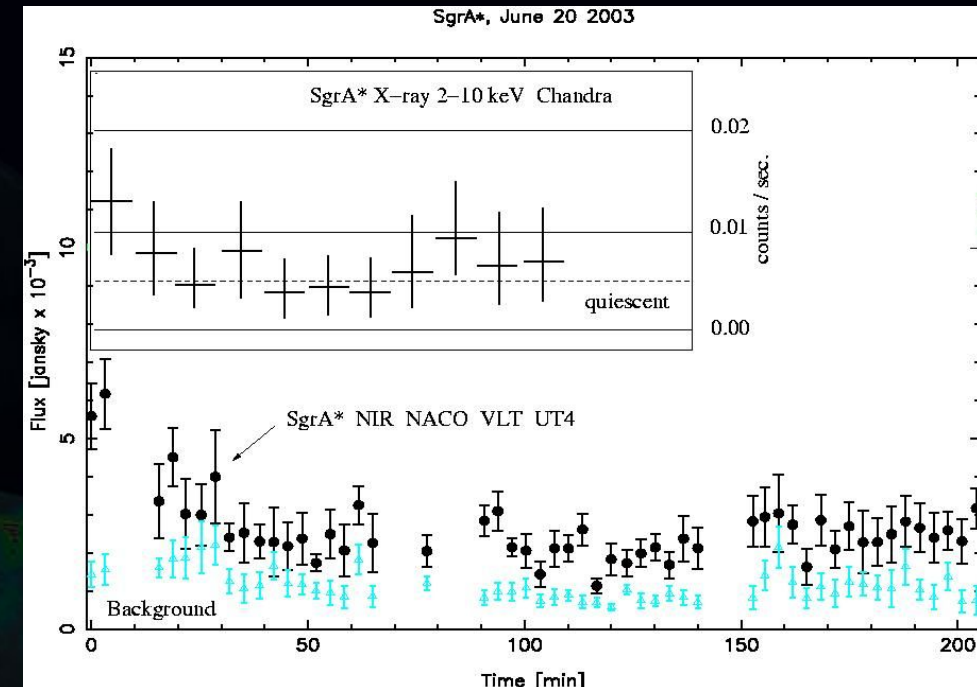


Genzel et al.
Ghez et al.

DONT PANIC

Concep... 2004
galaxyexpedition.com

*Sgr A \star : rotating ($a > 0.5$) black hole?
 radio, IR, X-ray quasi-periodic (17min)
 flares. Higher than orbital frequency of
 innermost orbit of a non-rotating BH.*

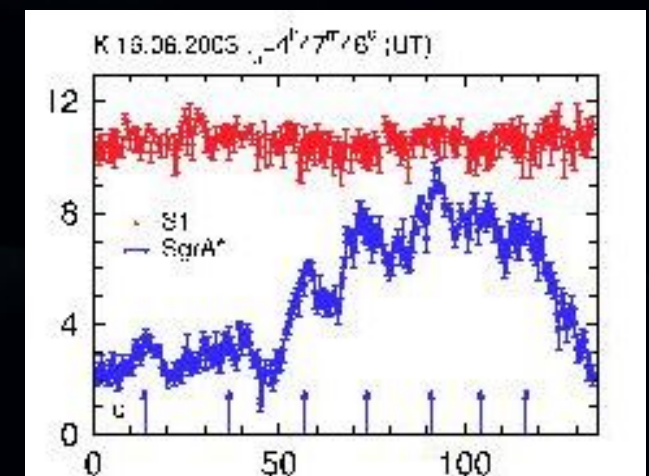


Near-IR Flare from Galactic Centre (VLT YEPUN + NACO)

ESO PR Photo 29a/03 (29 October 2003)

DONT PANIC

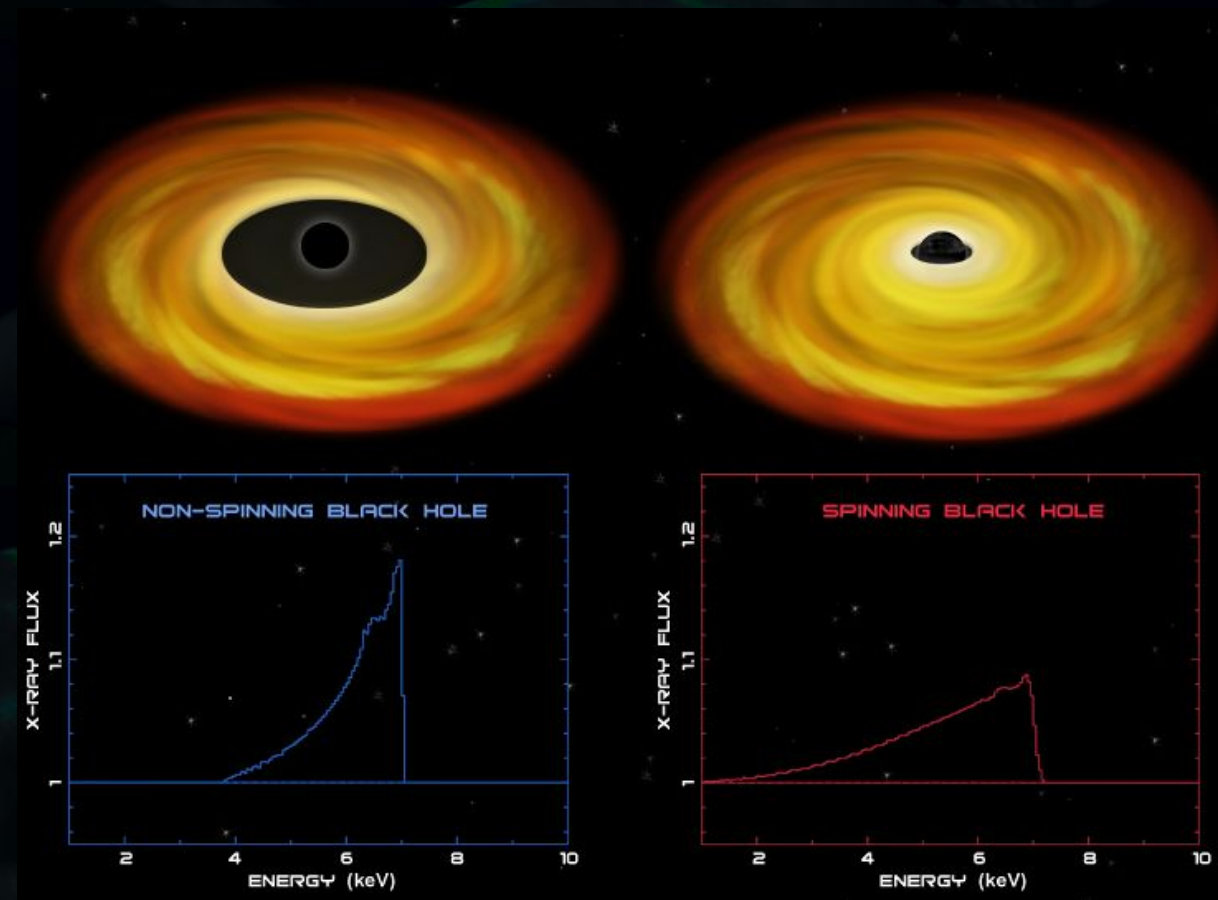
© European Southern Observatory



Genzel et al. 2003

Concep... 2004

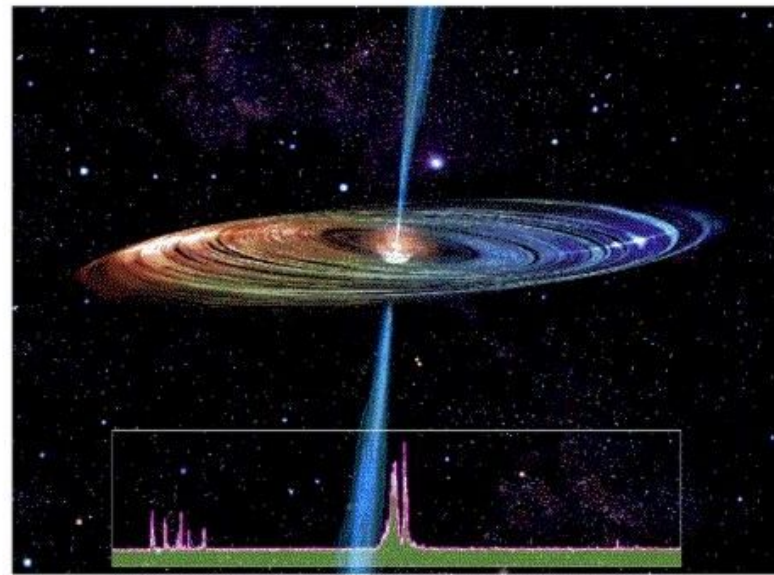
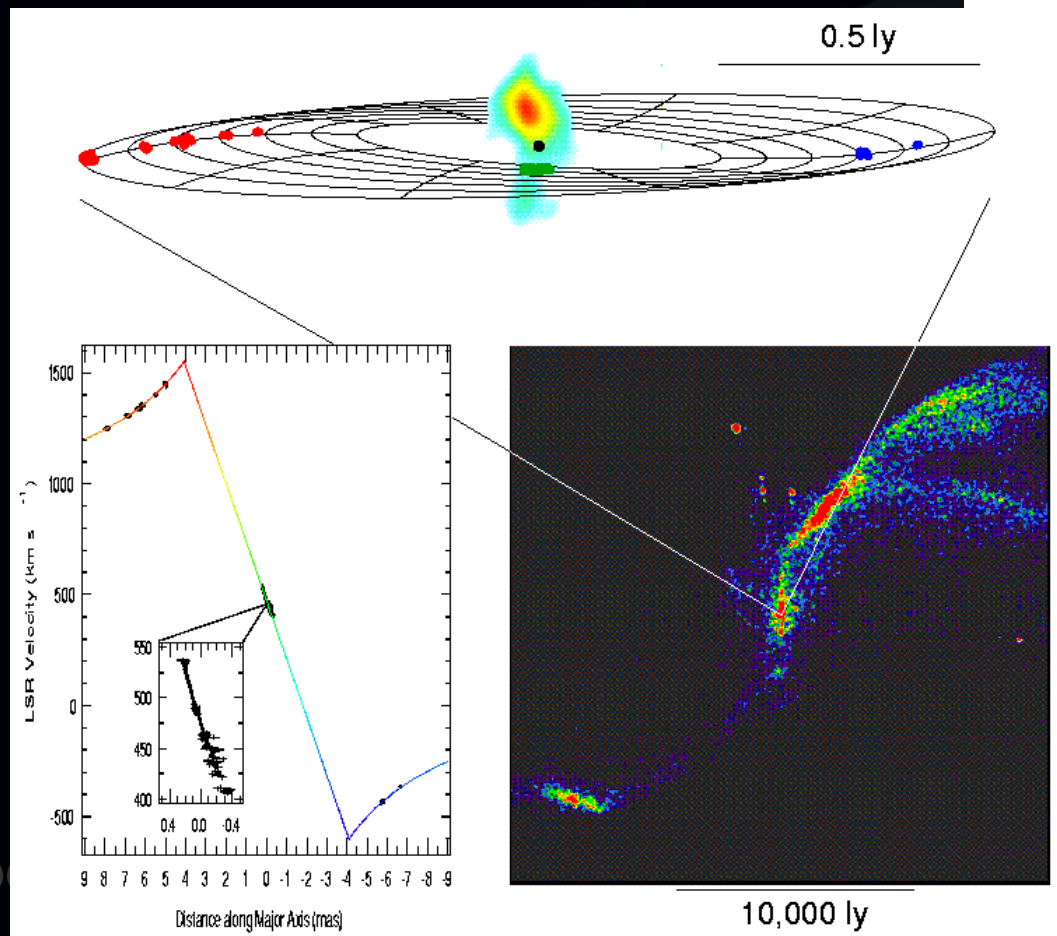
*Sgr A \star : rotating ($a > 0.5$) black hole?
radio, IR, X-ray quasi-periodic (17min)
flares. Higher than orbital frequency of
innermost orbit of a non-rotating BH.*



NGC4258: accretion disk & jet

$3.5 \times 10^7 M_{\text{Sol}}$ in $< 0.13 \text{ pc}$

Chorro comienza a $4000 R_s$
desde agujero negro

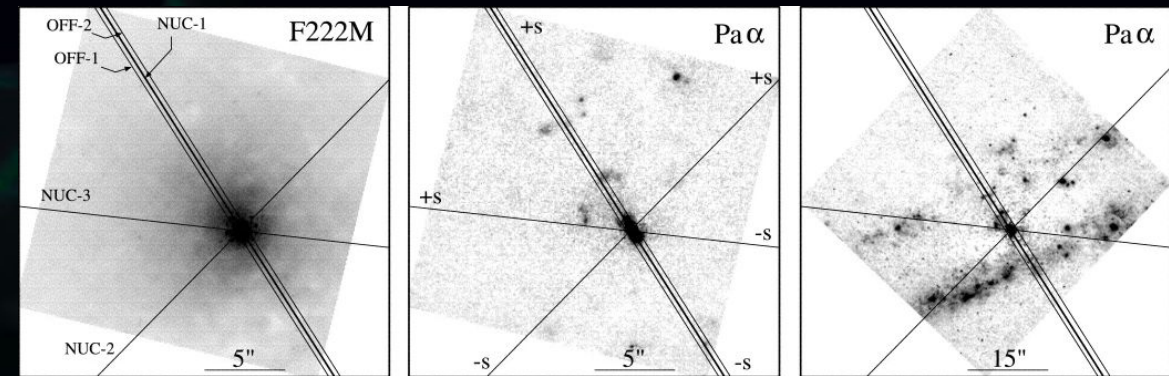


NGC 4258

Miyoshi et al. 1995
Herrnstein et al. 1997, 1999
Greenhill et al. 1995

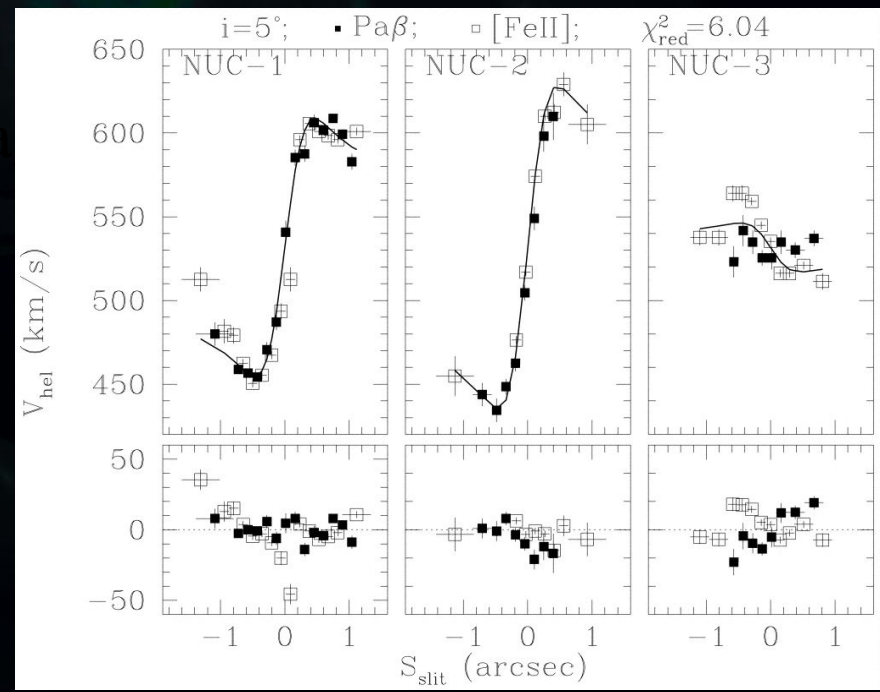
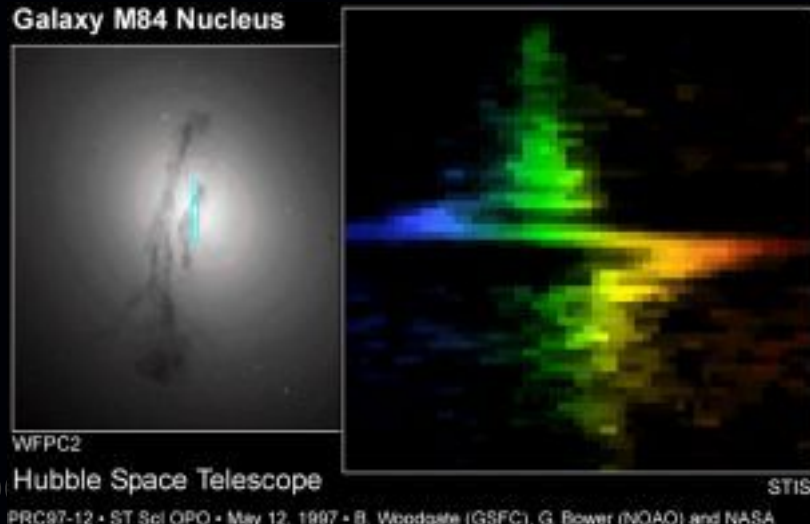
Cen A: gas dynamics of rotating gas disk

$2 \times 10^8 \text{ Msun}$



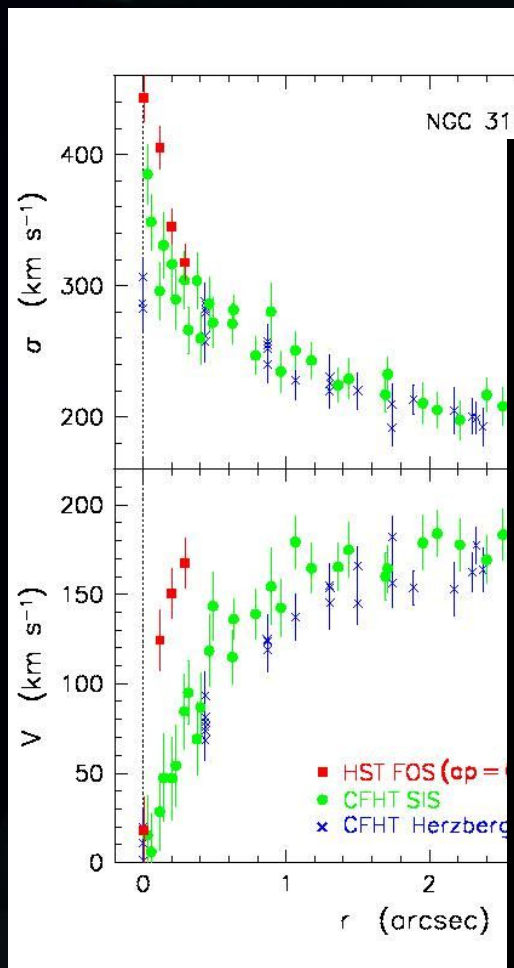
neil na

Galaxy M84 Nucleus



NGC 3115: Stellar Dynamics:

Black Hole of $\sim 10^9 M_{\odot}$



Hubble Black Hole Measurements: Two Methods



Individual star's chemical "fingerprints"

Stationary star

Receding star

Approaching star

"Smeared fingerprint"
of light from all stars

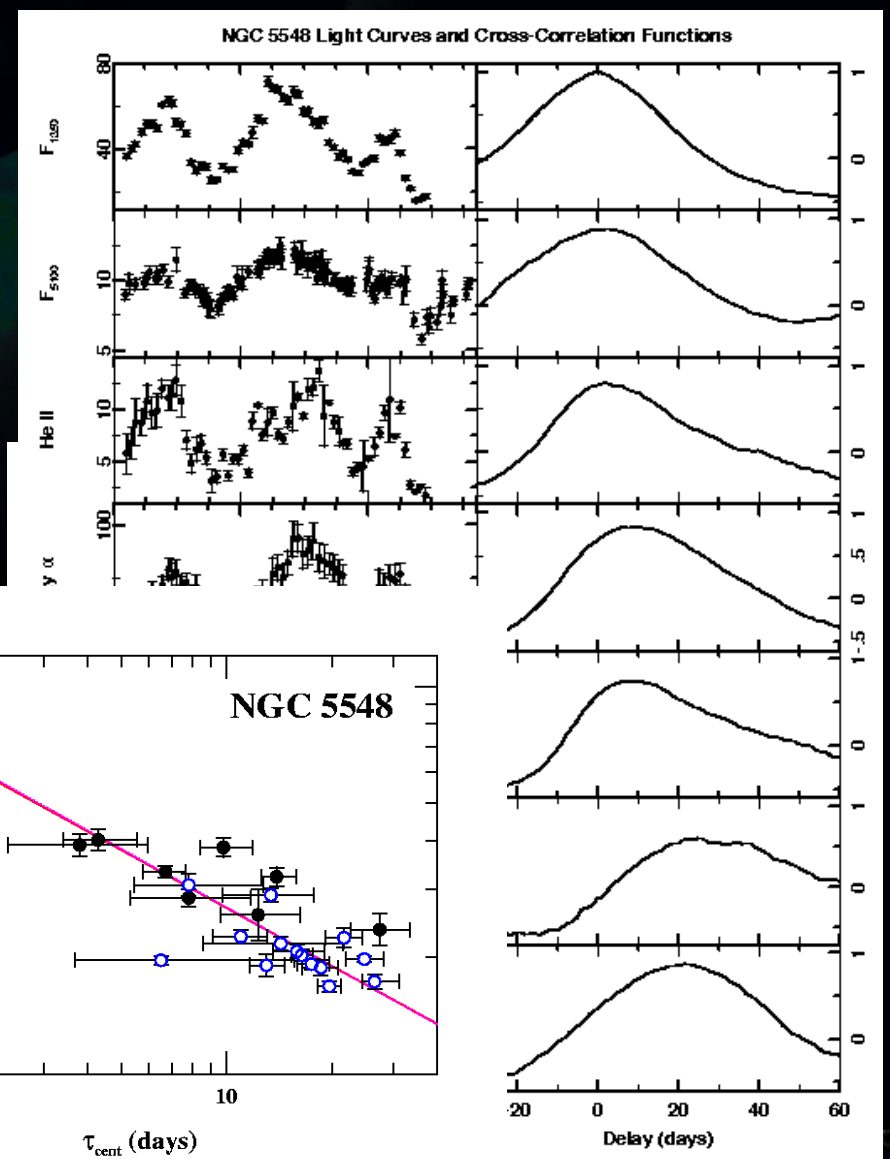
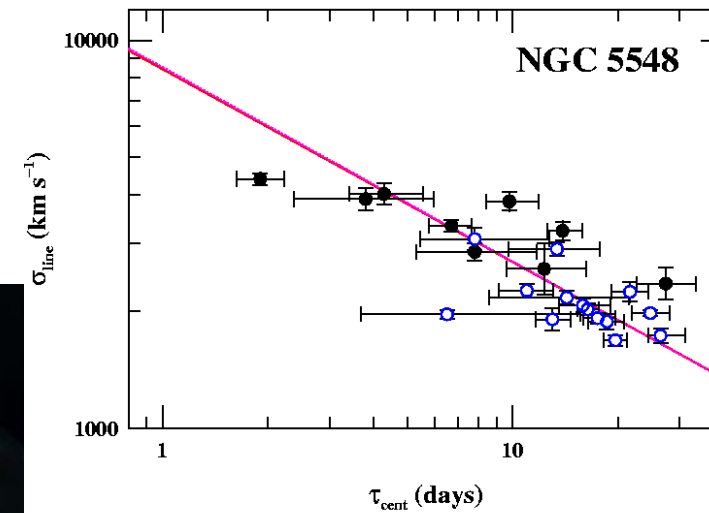
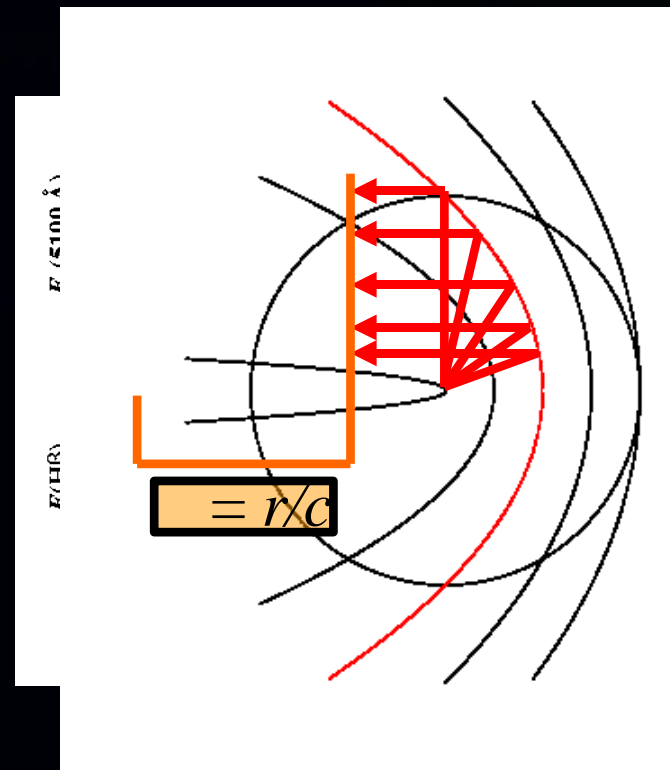
Collection of moving stars

Seyfert 1s: reverberation mapping (AGN)

agujero negro, masa $\sim 10^6 - 10^8 M_{\odot}$

Virialized disco de accrecion:

$$r \text{ propto } s^{-2}$$



DONT PANIC

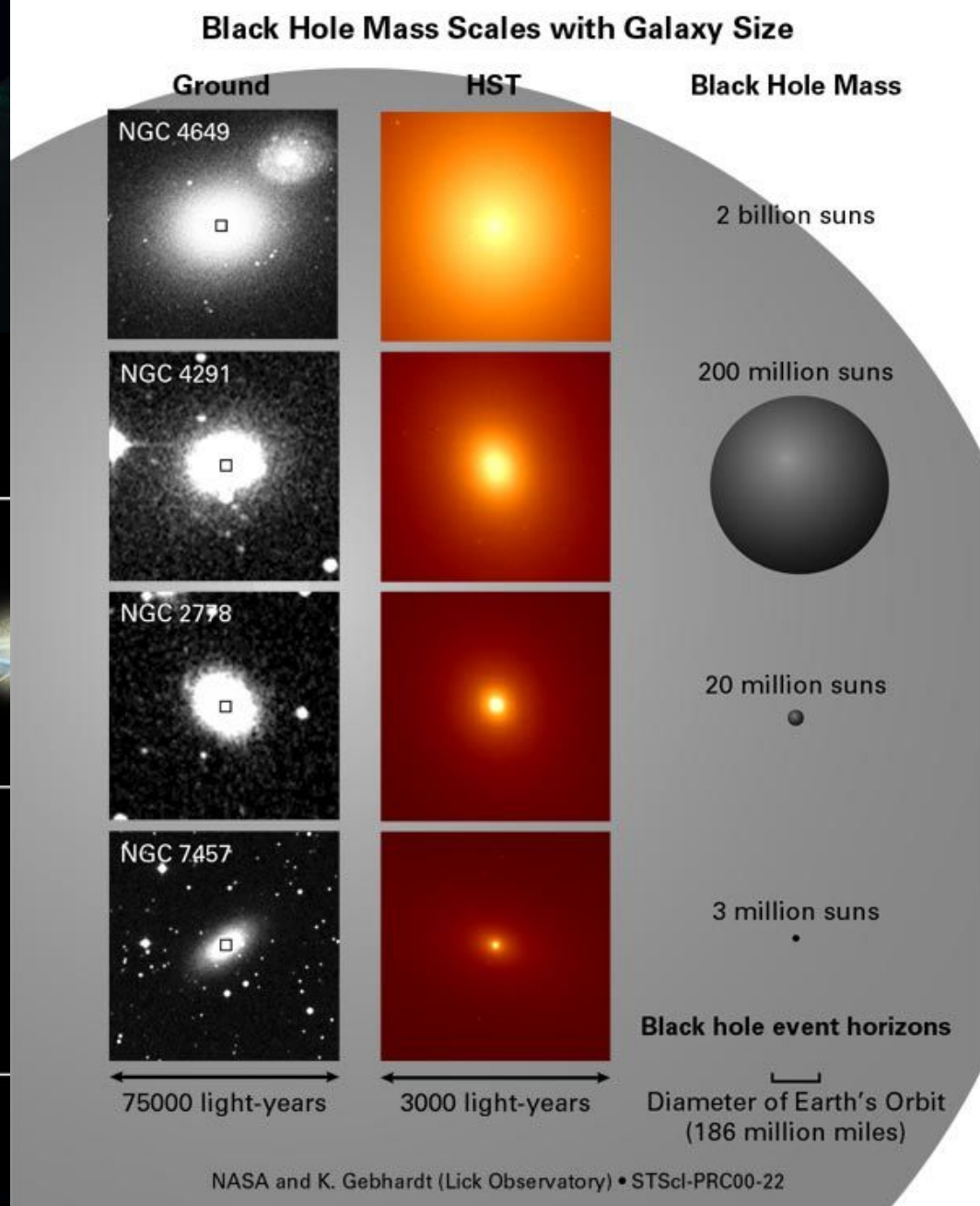
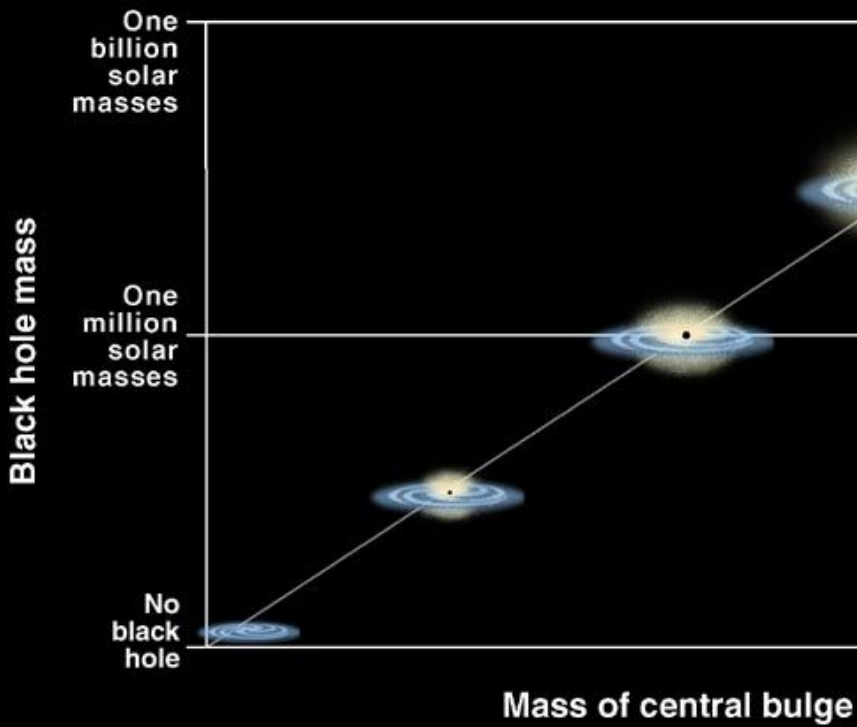
com

neil nagar



Cielo de la noche (rompecabezas)

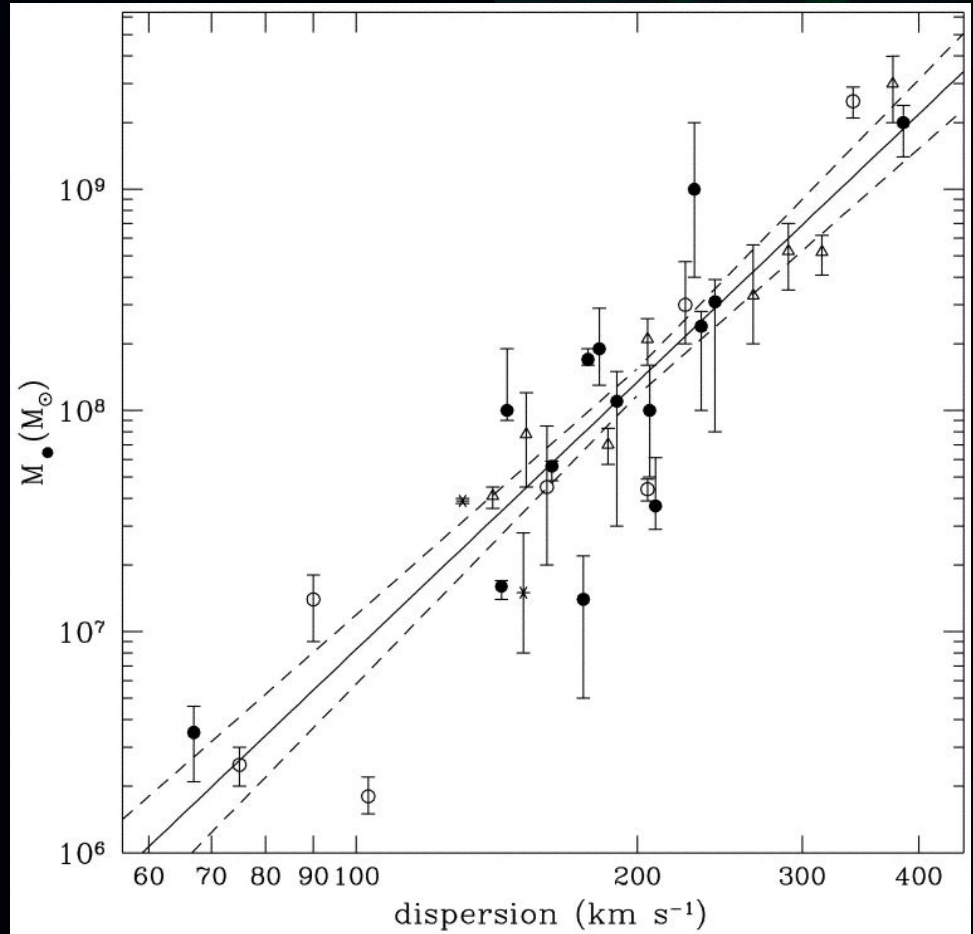
Correlation Between Black Hole Mass and Bulge Mass



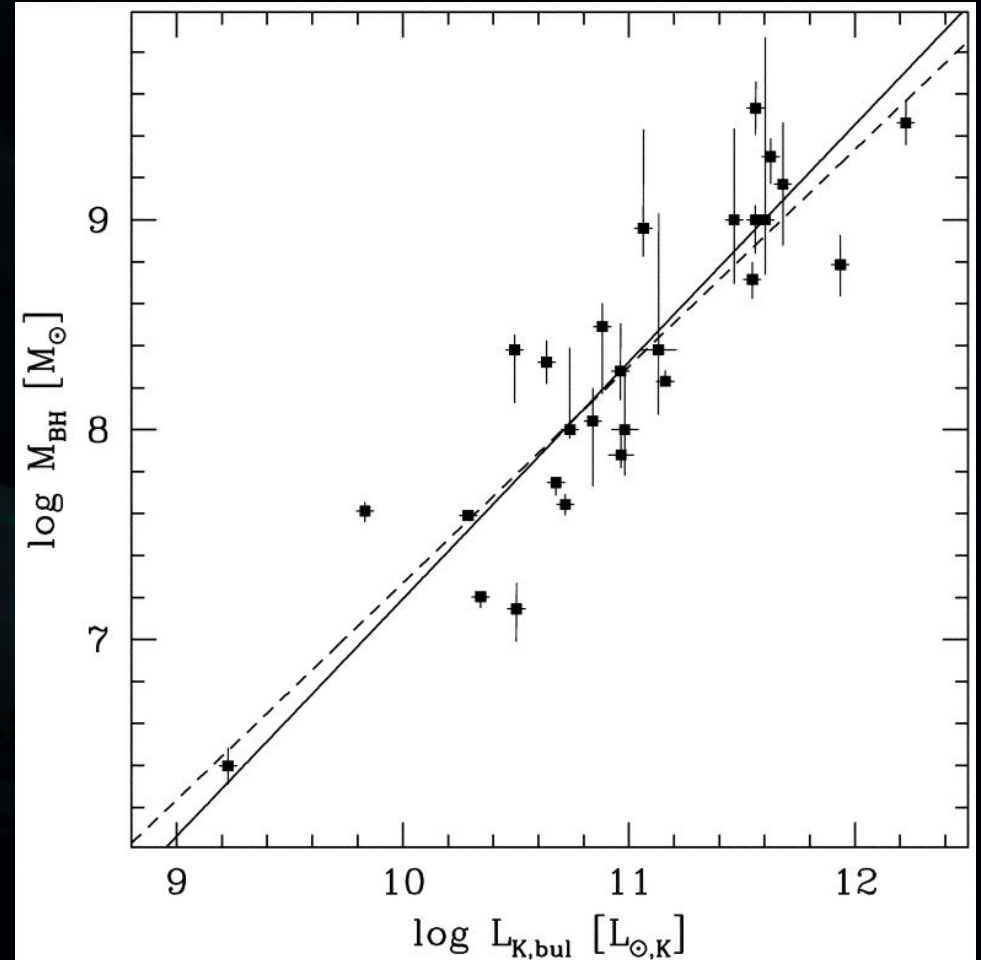
DONT PANIC

Concep... 2004
galaxyexplore.com

Indicadores secundarios de Massa de agujero negro



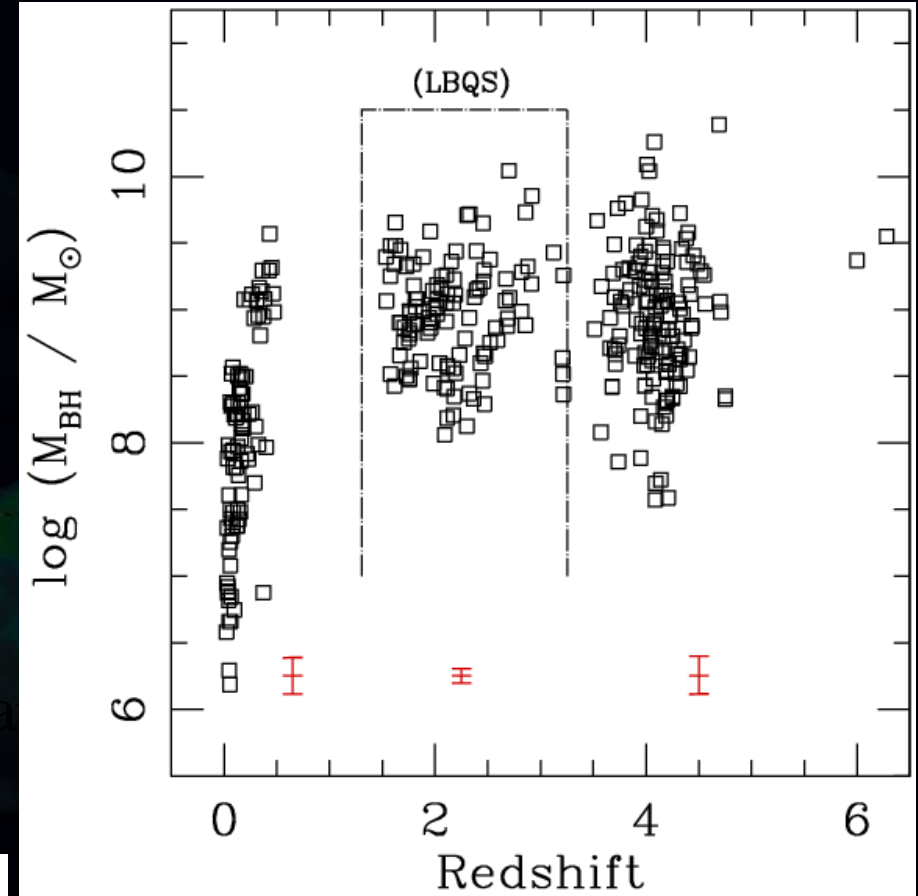
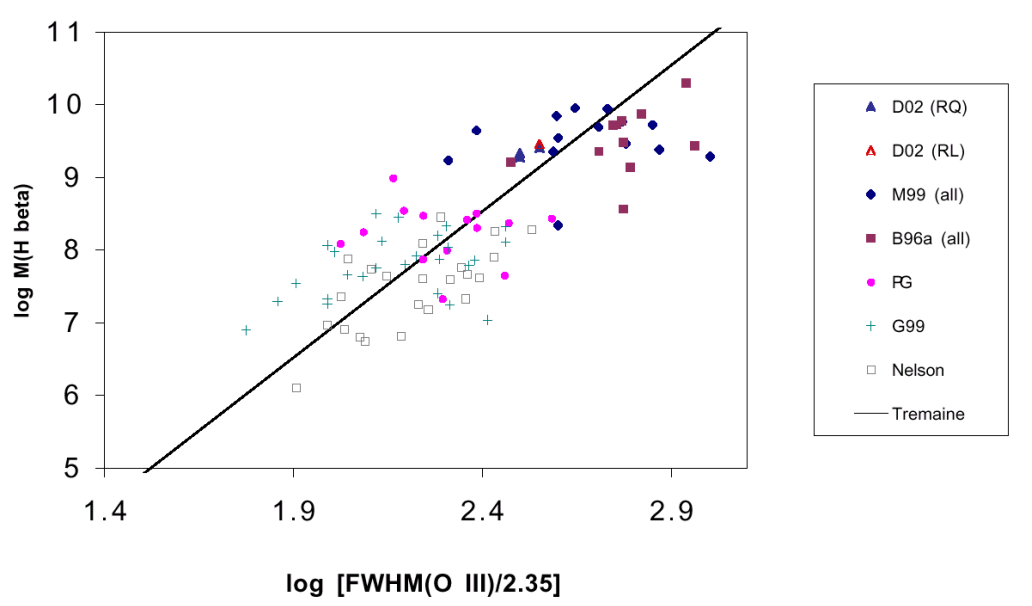
Tremaine et al. 2002: masa de agujero nero verso σ_c (dispersione centrale de stelle)



Marconi & Hunt 2003, masa de agujero nero verso la masa de galaxia (in realidad, la luminosidad de galaxia)

Indicadores terciarios

Shields et al. 2003: anchura de la linea
estrecha escalas con s_c



Vestergaard (2002)
la relacion de escalamiento $r \propto L^{0.7}$
y anchura de C IV linea

Estimating AGN Black Hole Masses (from B. Peterson)

Phenomenon:

Quiescent Galaxies

Type 2 AGNs

Type 1 AGNs

Primary Methods:

Stellar, gas dynamics

Megamasers

2-d RM

1-d RM

Fundamental Empirical Relationships:

$M_{\text{BH}} - *$
neil nagar

$\text{AGN } M_{\text{BH}} - *$

Secondary Mass Indicators:

Fundamental plane:
 $e, r_e, M_{\text{BH}} - *$

[O III] line width
 $V - * M_{\text{BH}}$

Broad-line width V
& size scaling with luminosity
 $R \propto L^{0.6}$
 M_{BH}

Application:

BL Lac objects

Low- z AGNs

High- z AGNs
Concep. 2004

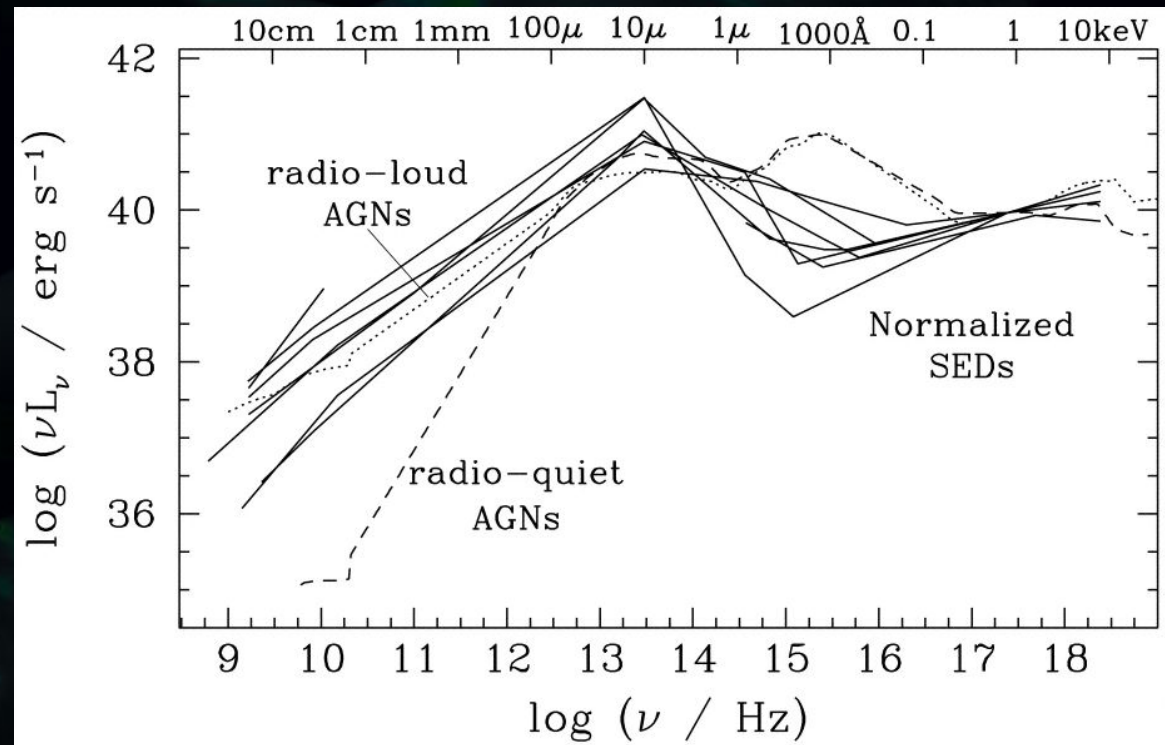
Whew, we're done with black holes! now: accretion rate

Spectral Energy Density (SED): AGNs and LLAGNs

*big blue bump
(accretion disk)*

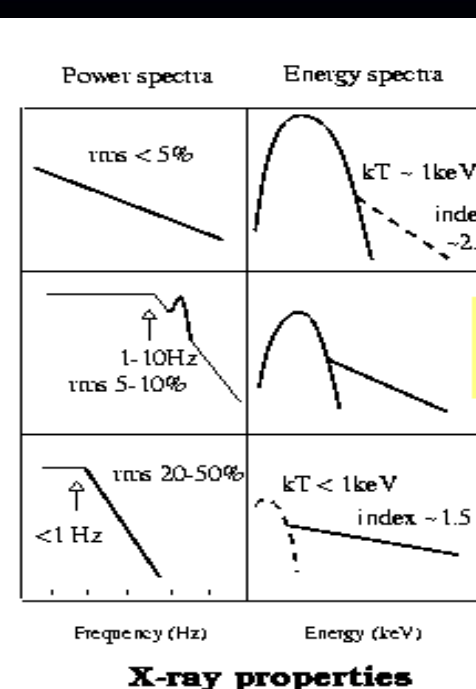
radio loud/quiet

$$\ell_E = \mathcal{L}_{bol} / \mathcal{L}_{Edd}$$

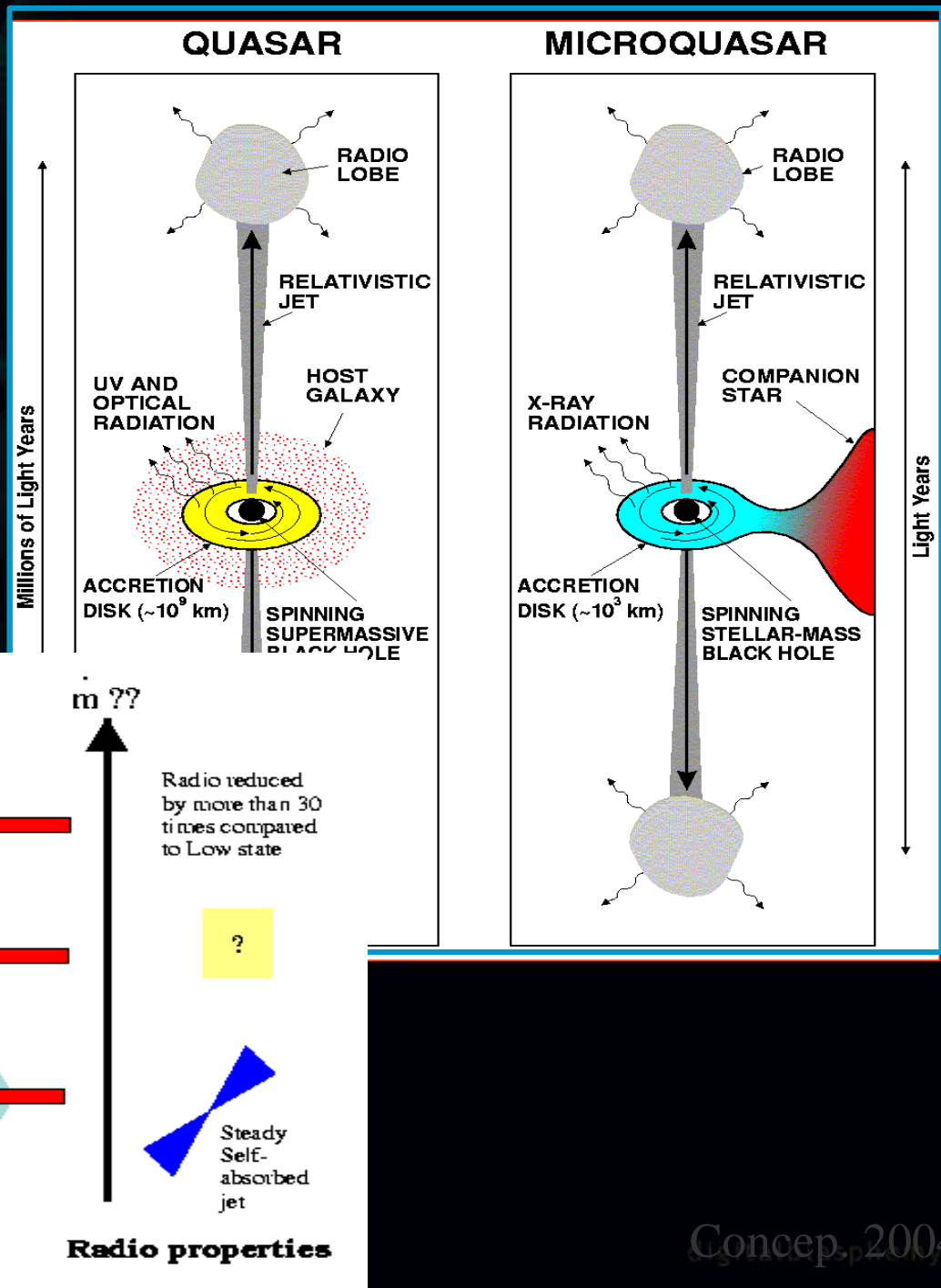


Micro-Quasars

- Cerca.
- Escala de tiempo proporcional a la masa de agujero negro



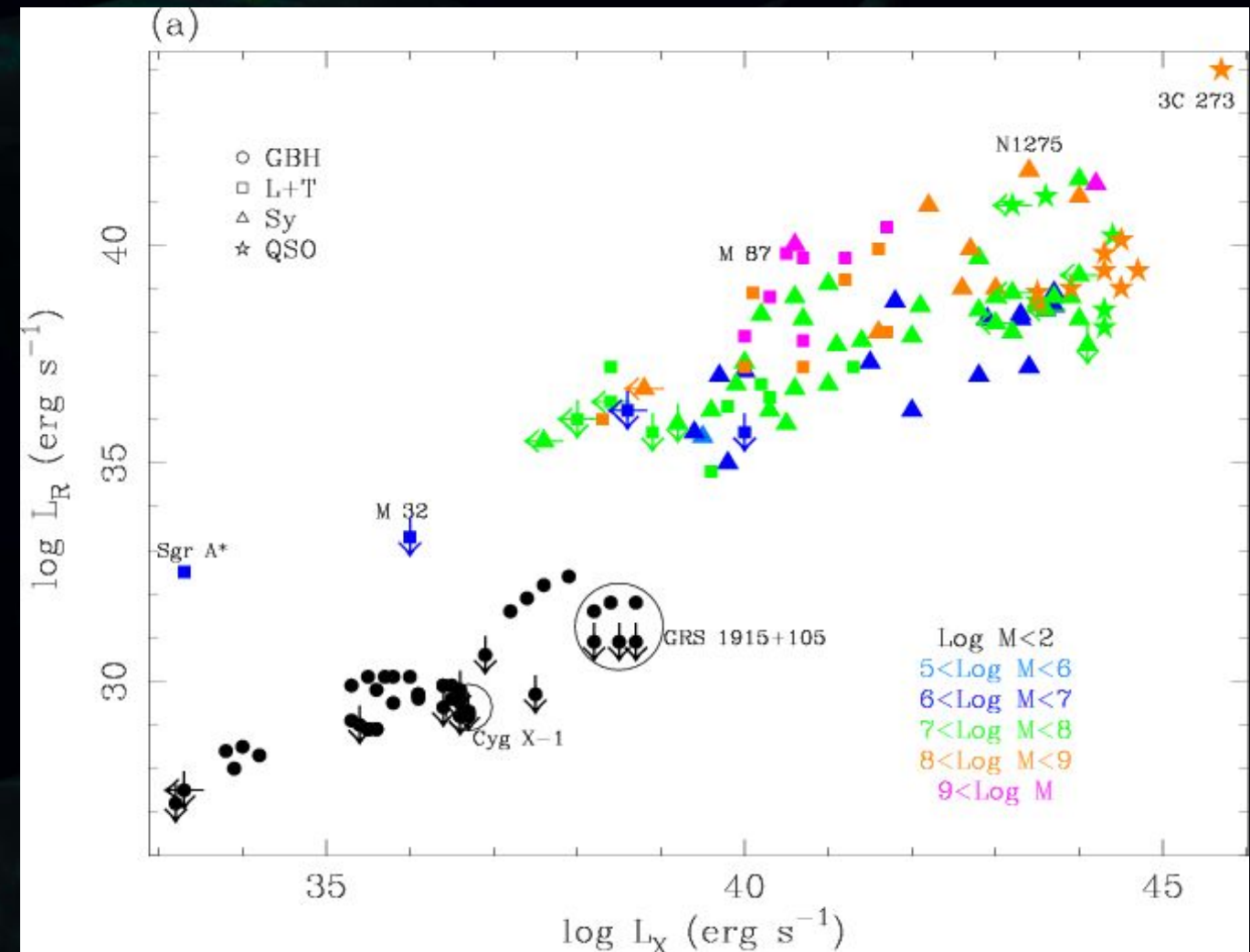
Fender (2003)



Concep 2004
dynamicalenergy.com

Plano fundamental in \mathcal{L}_r , \mathcal{L}_x and \mathcal{M}_{mdo}

Galactic BHs
and
Extragalactic
SMBHs



Merloni, Heinz & DiMatteo 2003
(similar results in Falcke et al. 2003)

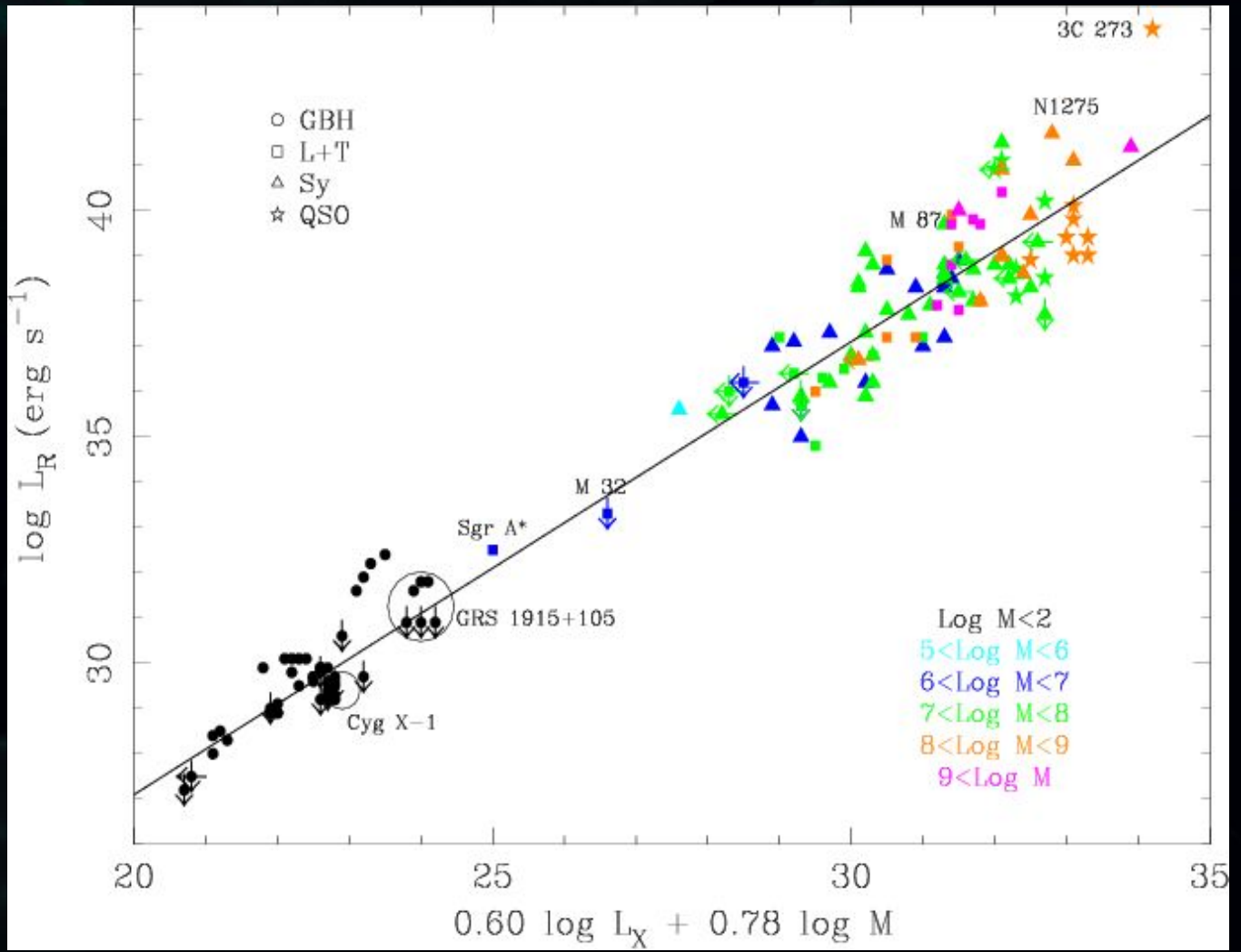
Fundamental Plane in L_r , L_x and M_{mdo}

RIAF: consistent

Jet models: marginally consistent (X-ray from jet synchrotron model)

standard accretion disk:
no.

But: radio emission
also (mostly?) from
shocks in the jets i.e.
Flux and electron
energy distribution
could be different.



Merloni, Heinz & DiMatteo 2003

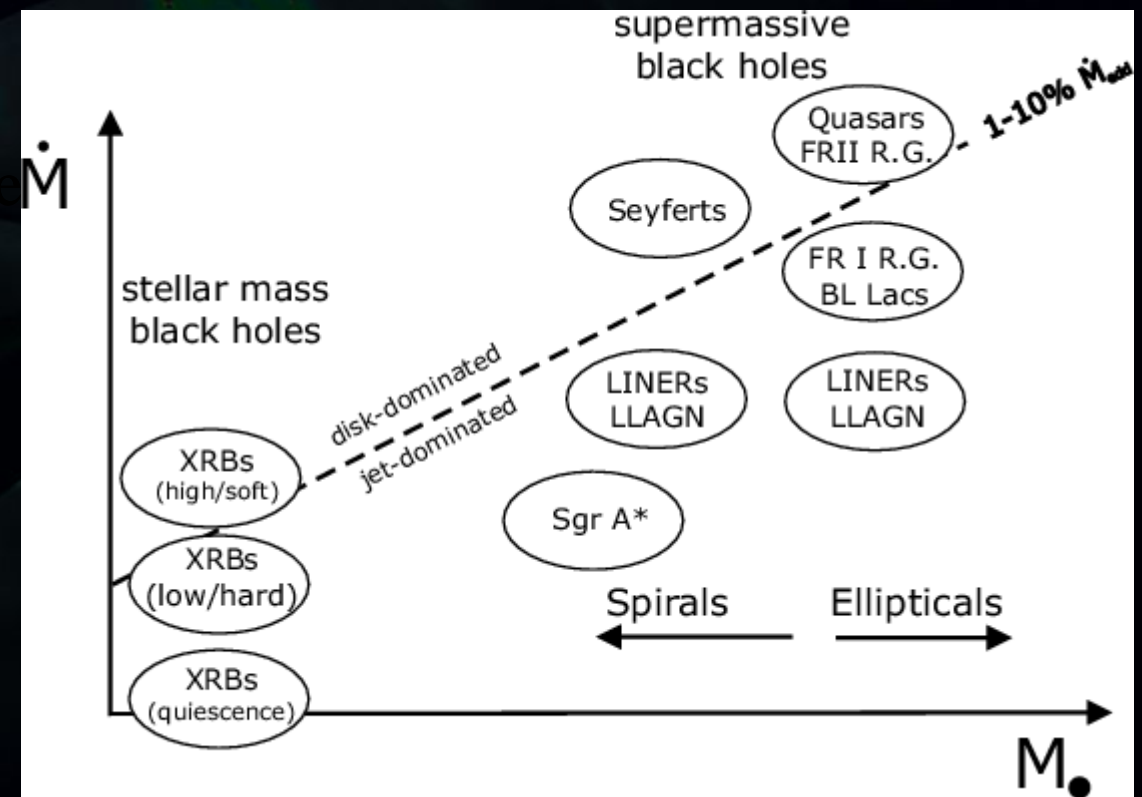
Esquema Super-unificacion

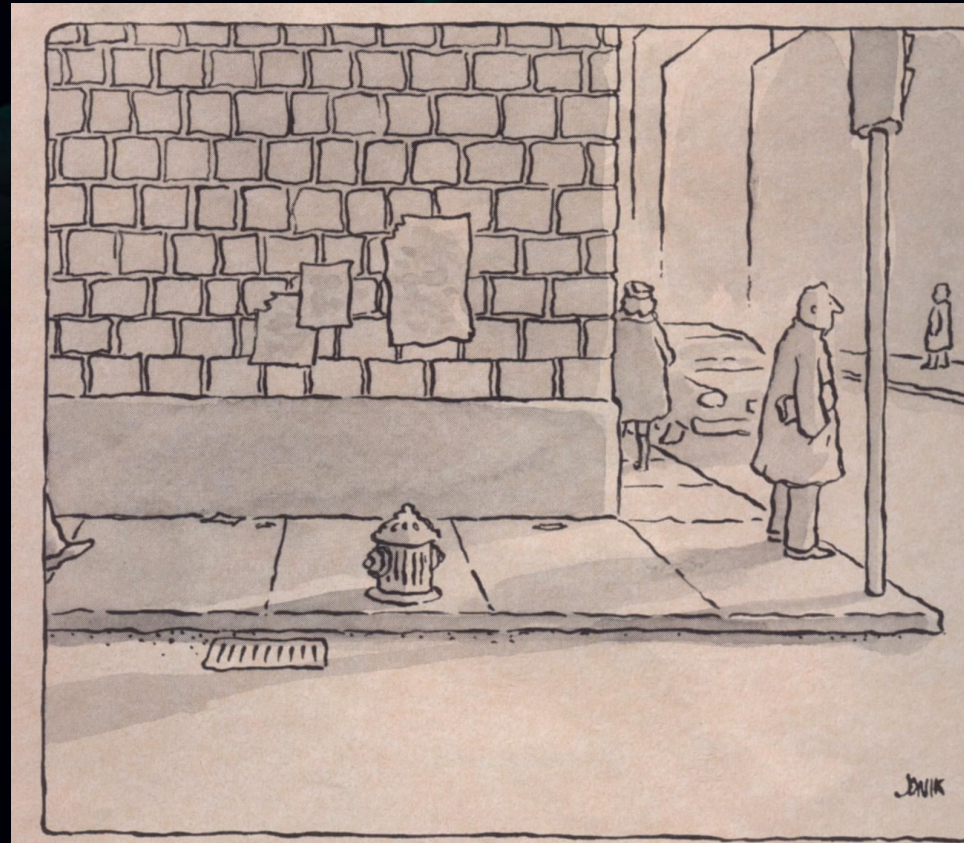
$\mathcal{M}_{\text{black-hole}}$: medido or estimado

\mathcal{M}_{dot} o \mathcal{L}_E : $\mathcal{L}_{\text{Bol}} + \mathcal{M}_{\text{black-hole}}$

esquema unificado: orientacion

rotacion de agujero nero:
'radio loud / quiet'?





THE MILKY WAY
(Detail)

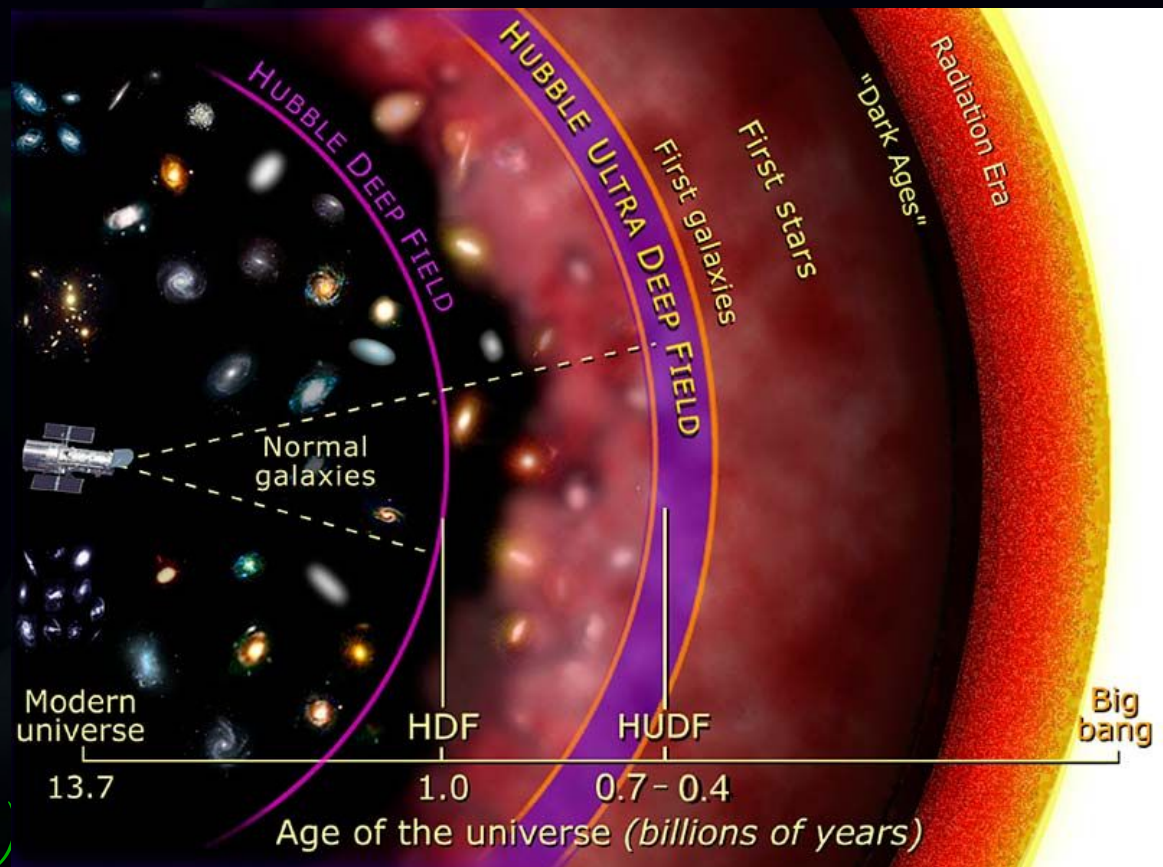
Via Lactea (Detalle)

AGN e Galaxia a alto-redshift

Hubble campo ultra profundo (HUDF): galaxia a $z > 3$ (7-8?)

SDSS: AGN a $z > 6.5$

$[Fe]$ => galaxia a $z > 9$ (?)

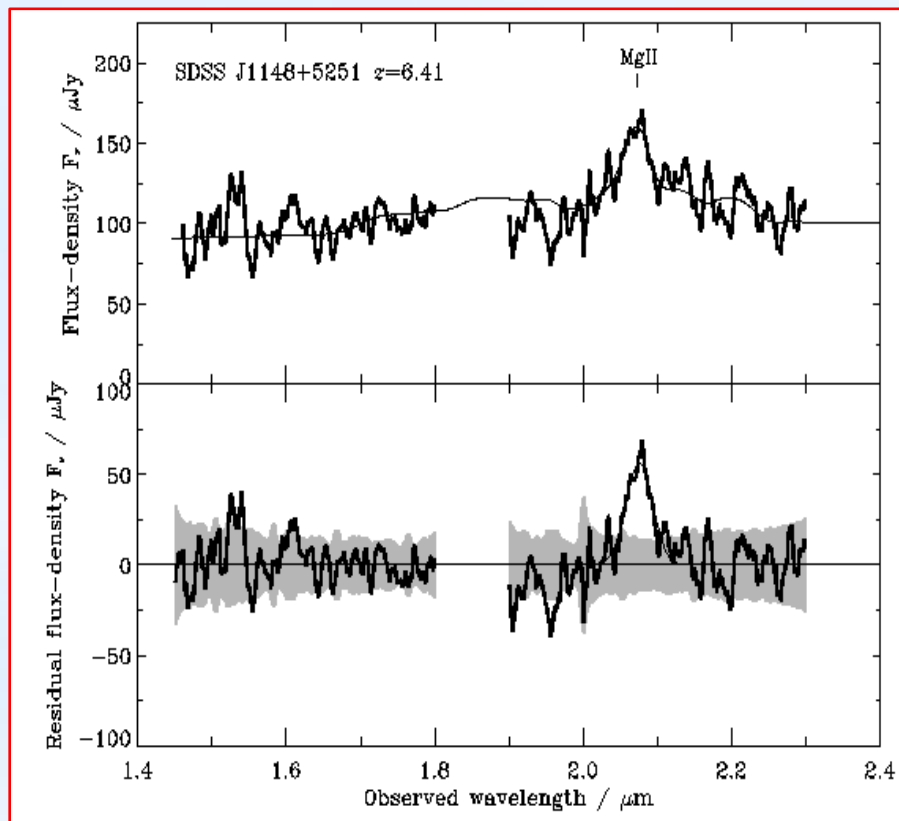


primeras estrellas: remanents de 100--200 M_{sun} agujero negro

SMBH in highest redshift quasar (z=6.4)

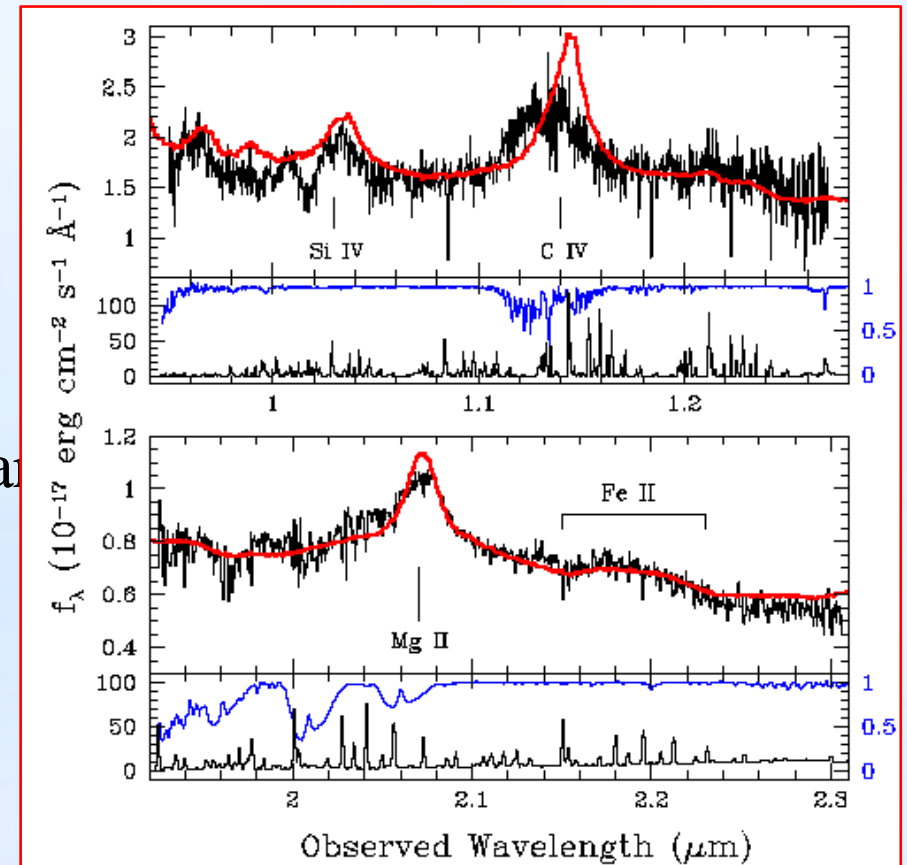
Willott et al. (2003)

$$\frac{M_{\text{bh}}}{M_{\odot}} = 3.37 \left(\frac{\lambda L_{3000}}{10^{37} \text{W}} \right)^{0.47} \left(\frac{\text{FWHM(Mg II)}}{\text{kms}^{-1}} \right)^2$$



FWHM(MgII)=6000km/s, $M_{\text{BH}}=3\text{E9 M}_\odot$

Barth et al. (2003)



FWHM(MgII)=5500km/s $M_{\text{BH}}=2\text{E9 M}_\odot$

FWHM(CIV)=9000km/s $M_{\text{BH}}=6\text{E9 M}_\odot$

Cual vino primero: el pollo o el huevo?

*primeras estrellas: remants
de 100--200 M_{Sol} agujero negros*

combinacion de agujero negro:

$$M_{\text{final}} = M_1 + M_2$$

$$M_{\text{final}} = (M_1^2 + M_2^2)^{\frac{1}{2}} \quad + \text{ondas grav}$$

$$M_{\text{final}} = M_1 \quad + \quad \text{expulsado } M_2$$

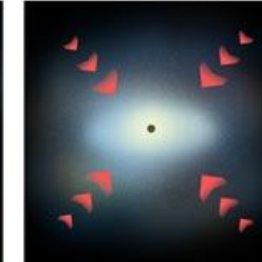
Three Ways to Grow a Black Hole

Primordial collapse of a bulge

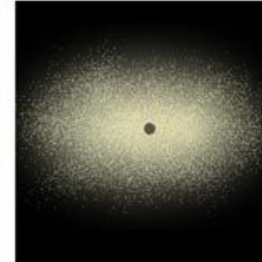
1. Primordial hydrogen cloud collapses around small 'seed' black hole.



2. Infalling gas feeds the hole with more mass and forms stars.

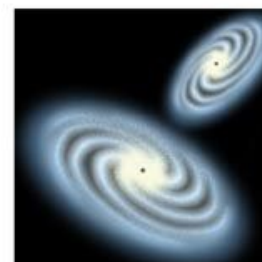


3. Collapse yields a giant elliptical galaxy. Black hole growth stops.

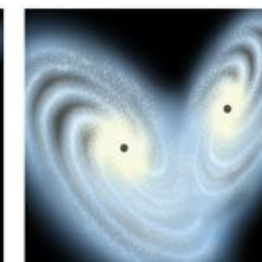


Galaxy collisions

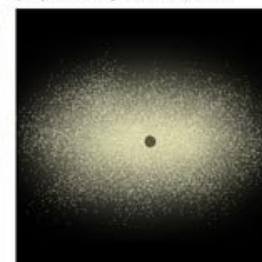
1. Two disk galaxies with central black holes fall toward each other.



2. The galaxies collide, and their cores begin to merge along with their black holes.



3. The merger yields a giant elliptical galaxy with a central black hole that has grown proportionally more massive.

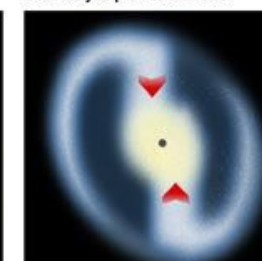


Pseudo bulge

1. Pure disk galaxy forms with, at most, a seed black hole.



2. Disk gas falls into center of galaxy and grows a pseudo bulge which looks like a primordial bulge but really is part of the disk.



3. As pseudo bulge grows, a black hole is created and its mass increases with that of the pseudo bulge.



M87: sub-pc to kpc

LINER/FR I

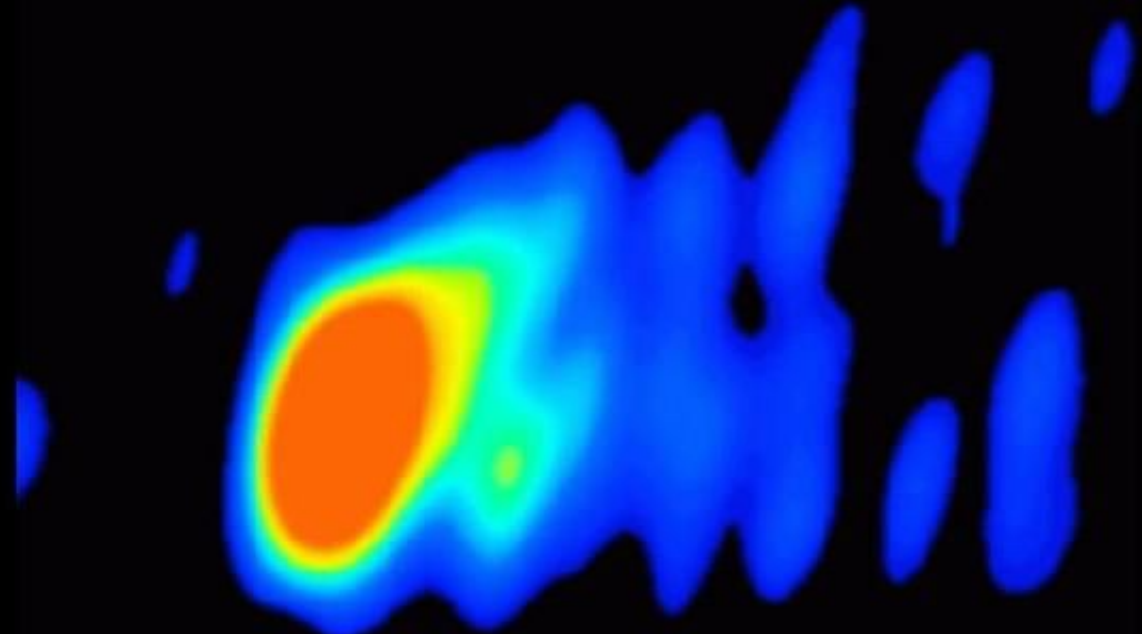
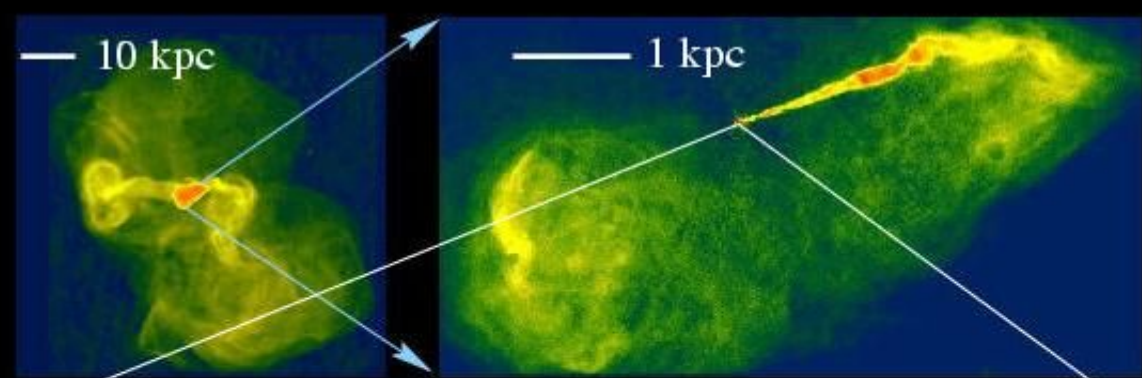
Nucleo + chorro

Radio “blobs”
 $<0.03c$

optical “blobs”:
superluminal

Collimacion de chorro:
 $< 100 R_s$

Junor et al. 1999



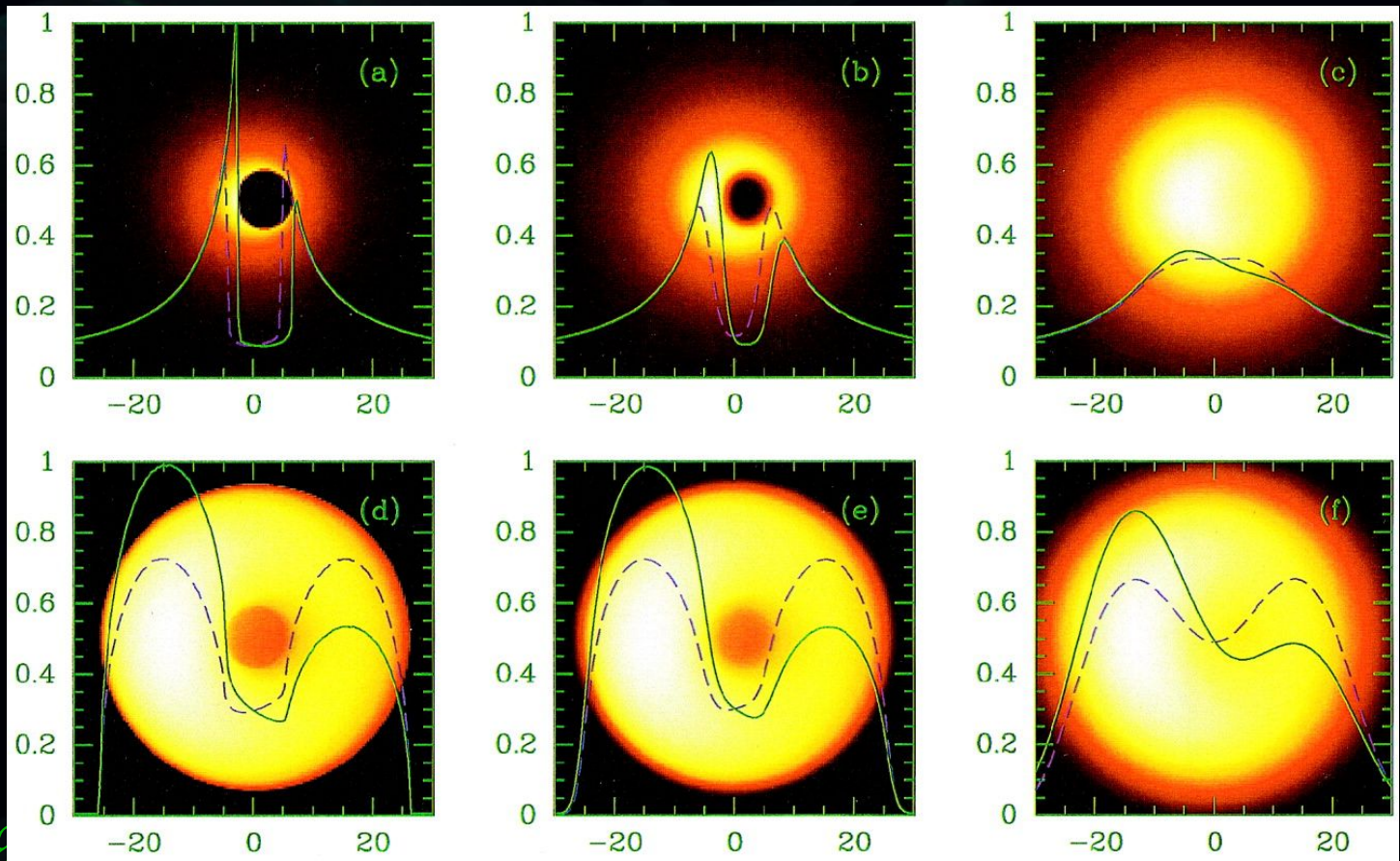
$\cdot 6 r_s$

— 0.01 pc

Imagen la sombra de un agujero negro

sombra: $10 R_s$
(flexión luz)

per Sgr A * :
requerido 0.6mm



Agol, Falcke et al.
superior: max rotating
bajo : nonrotating BH; Keplerian rotation; uniform emissivity
izquierdo: ray tracing; medio: .6mm VLBI ideale; derecha: 1.3mm VLBI

Resumen

- Los agujeros negros de acrecentamiento son ubicuos.
 - Fuerte AGN: la alta energia
 - Galaxia normale : la oscura masa nucleare.
- Muchos nombres y tipos. Estamos mas cercanos ahora a un modelo fisico de la unificacion: $M_{black hole}$, orientacion, accretion rate, spin.
- Necesitamos todos los regimenes de la longitud de onda.
- La evolucion de una galaxia y su agujero negro es 'coeval' y comenzado en el alto redshift.
- Con los telescopios sensibles nuevos, y los leyes confiables del escalamiento, podemos ahora alcanzar redshifts muy altos

Formation of extragalactic jets from black hole accretion disk

